

Arquitectura e Ingeniería de Computadores



Tema 1
Introducción: Tendencias Tecnológicas
Costo/ Rendimiento/ Consumo

DEPARTAMENTO DE
ARQUITECTURA DE COMPUTADORES
Y AUTOMÁTICA

Curso 2012-2013

- o La asignatura. ¿ Qué estudia?
- o El entorno tecnológico
- o Rendimiento
- o Consumo
- o Costo
- o Un principio simple
- o Bibliografía

Capítulo 1 de [HePa12]

Semiconductor Industry Association. <http://public.itrs.net>

Standard Performance Evaluation Corporation. <http://www.spec.org>

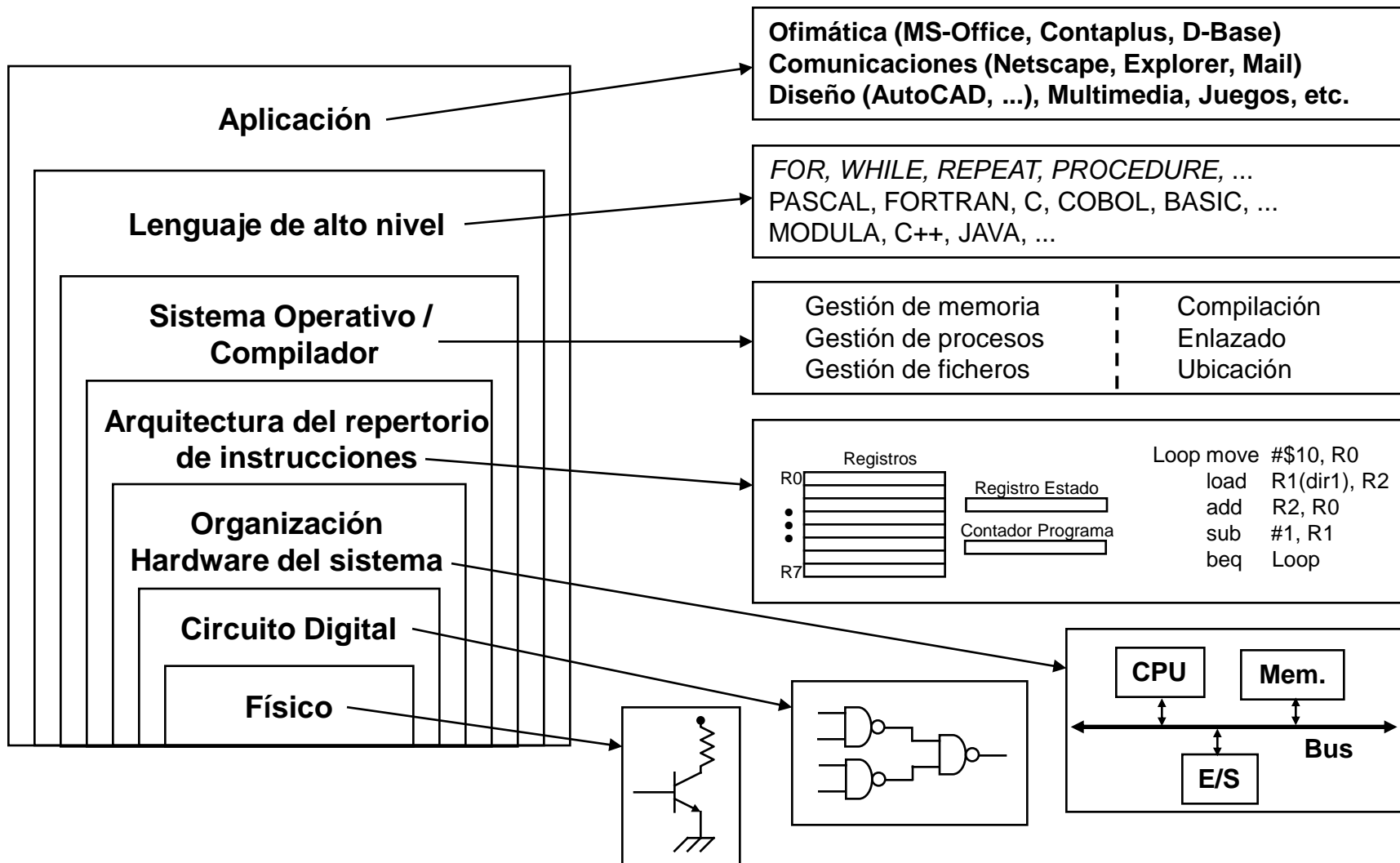
Transaction Processing Council. <http://www.tpc.org>

The Embedded Microprocessor Benchmark Consortium.

<http://www.eembc.org>

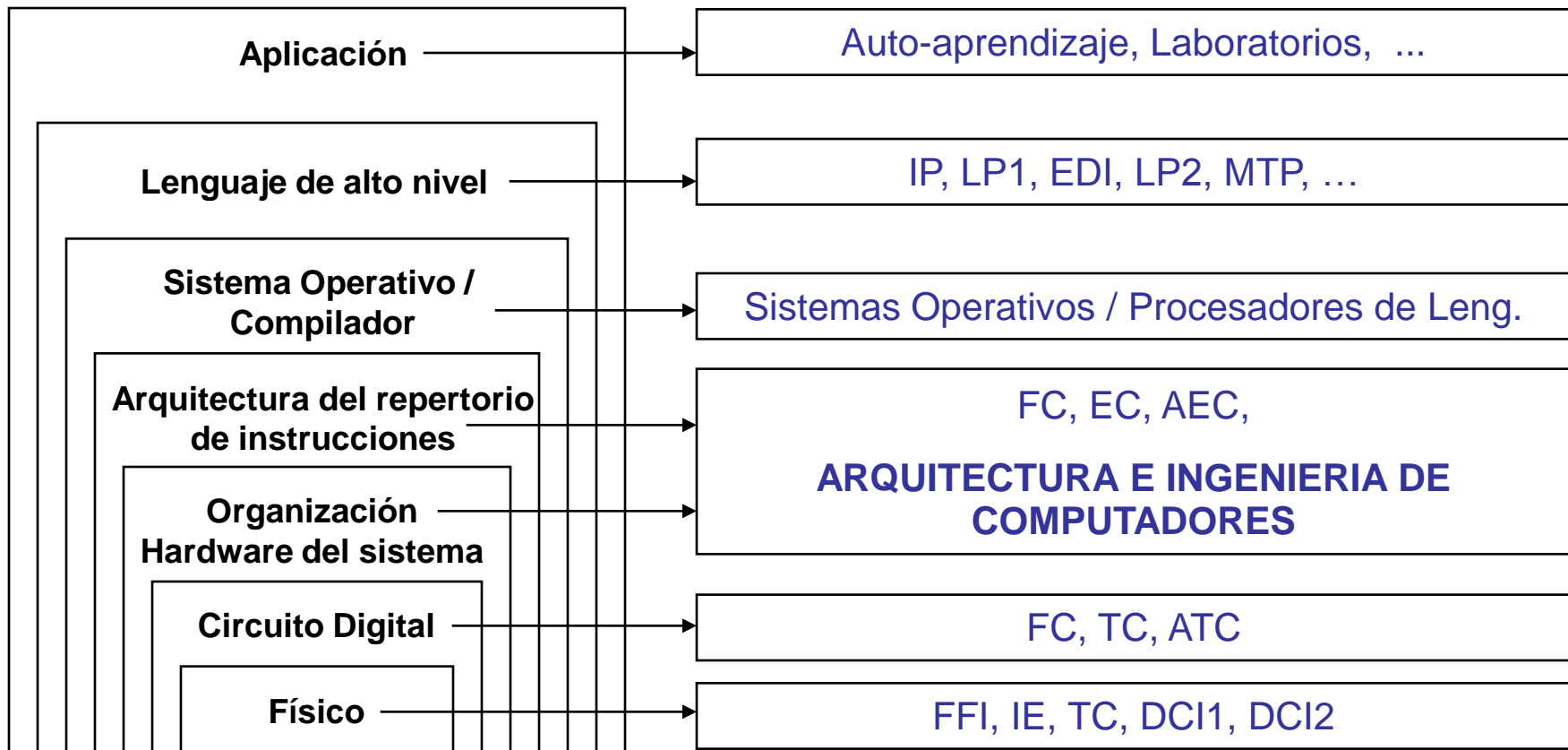
La asignatura

□ Niveles de descripción y diseño de un computador



□ Niveles de descripción y diseño de un computador

¿Dónde se estudia?

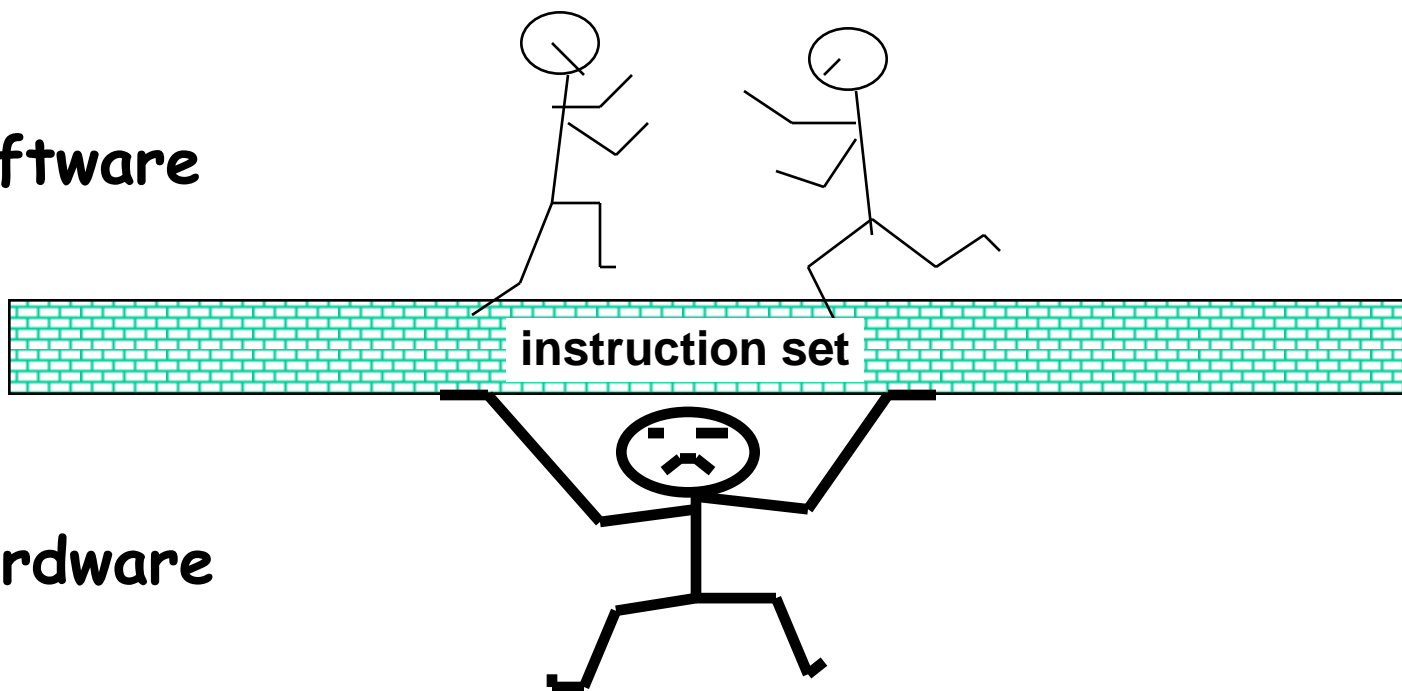


Arquitectura de computadores

- Los atributos de un computador tal y como los ve un programador en lenguaje ensamblador. La estructura conceptual y el modelo funcional (modelo de programación). Amdahl, Blaaw, Brooks 1964
- El concepto ha cambiado en el tiempo.
 - Hasta la mitad de los 80. El énfasis era el diseño de juego de instrucciones orientado a los LAN.
 - Desde entonces el énfasis es el diseño de CPU, Jerarquía de memoria, sistema de I/O. Paralelismo (ILP,DLP,TLP). Aspectos clave coste-rendimiento-tecnología-consumo
- Tres aspectos
 - Arquitectura del juego de instrucciones
 - Organización (diferentes organizaciones P6, Netburst, AMD K8, Core, Nahalem)
 - Implementación (PentiumIII, Celeron, Pentium4, Pentium Xeon, Core2, Core 7-5-3i)

ISA: Interfase Critico

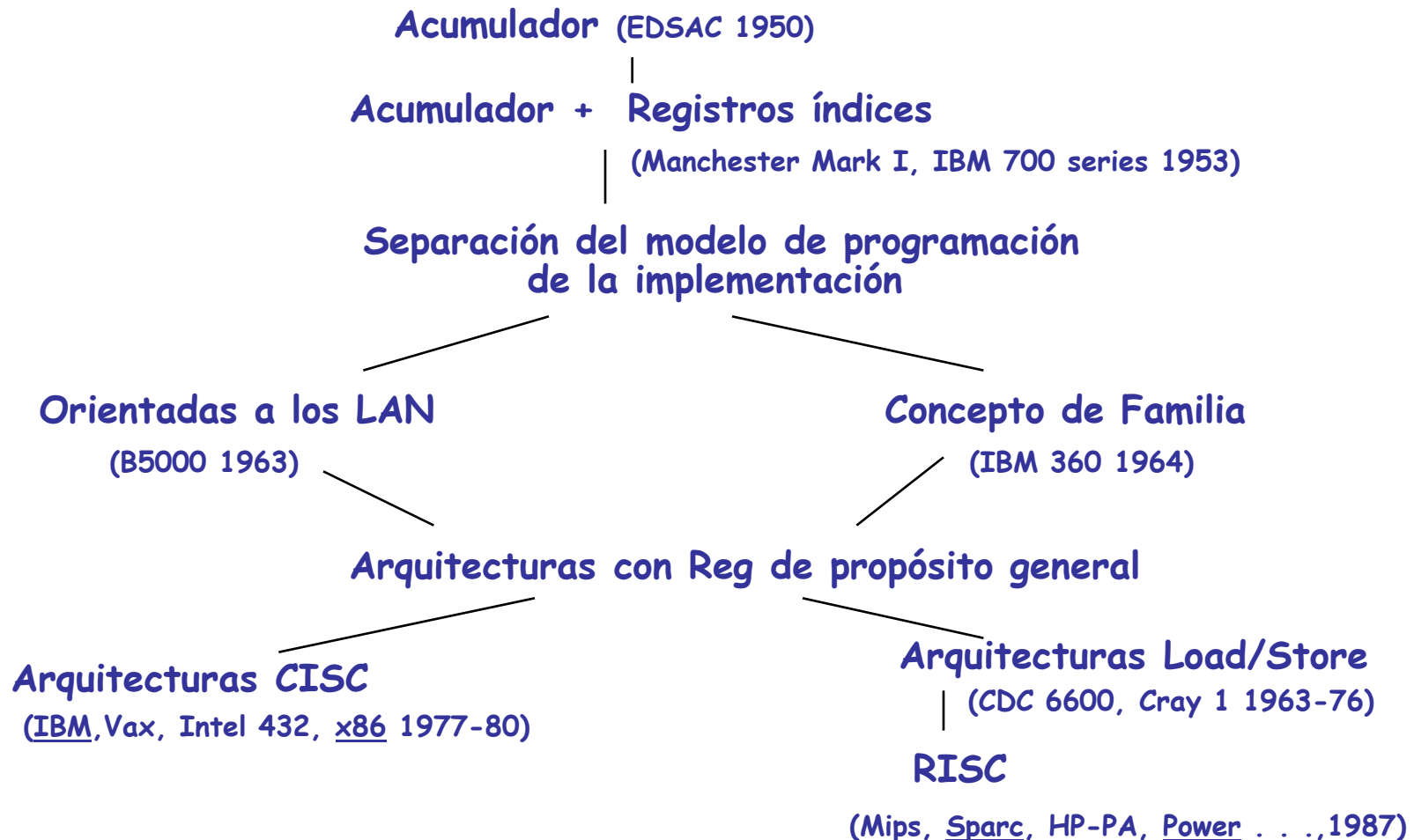
software



Propiedades

- o Permanencia con el tiempo / tecnología (portabilidad)
- o Proporciona funcionalidad eficaz a los niveles superiores
- o Permite implementación eficiente en los niveles inferiores

☐ Evolución de los juegos de instrucciones



□ Metodología de Diseño



La asignatura

□ ¿Qué estudia la asignatura?

Entrada/salida y almacenamiento

Discos, WORM, Cintas

RAID

DRAM- Memoria Central

Organización de memoria,
Protocolos de Bus

L2 Cache

Coherencia,
Ancho de banda,
Latencia

L1 Cache

Segmentación , ILP, TLP

VLSI

Arquitectura del Procesador

Segmentación, riesgos (hazards),
superescalar, ejecución fuera de orden,
predicción, especulación, multithreading

□ ¿Qué estudia la asignatura?



Switch (S) Procesador (P) Memoria (M)

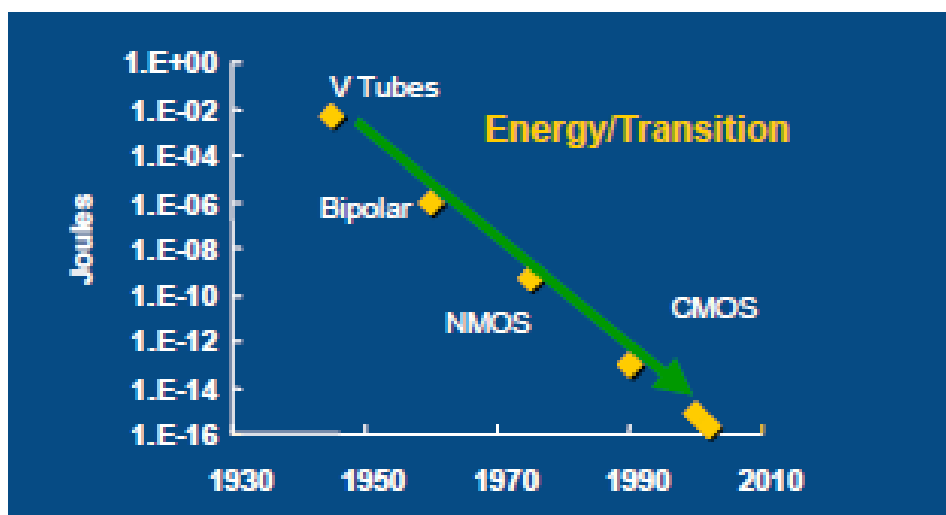
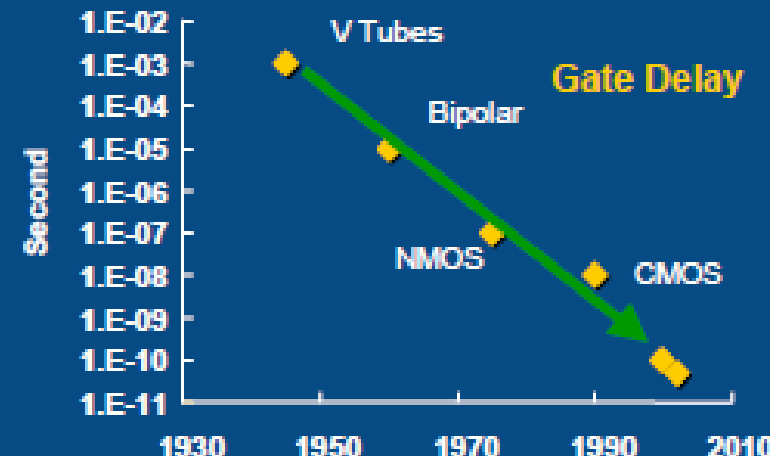
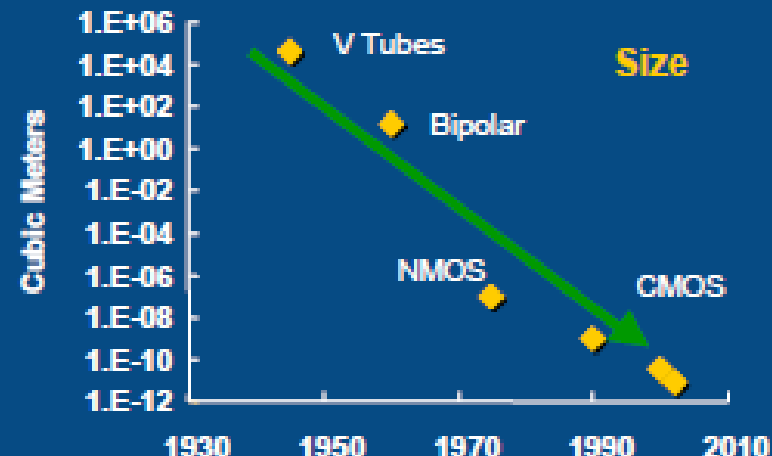
Multiprocesadores
Redes de Interconexión

Memoria compartida,
paso de mensajes,
parallelismo de datos

Red

Topología,
Routing,
Ancho de banda,
Latencia,

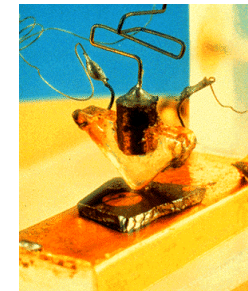
El escalado de la tecnología continua.



□ 1949 EDSAC 10^2 op/seg

□ 1957 Transistor: de 10^3 a 10^4 op/seg

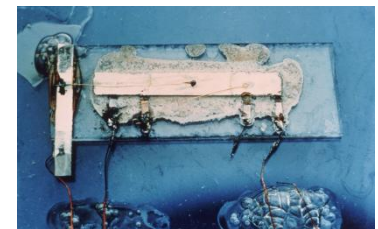
- DEC PDP-1 (1957)
- IBM 7090 (1960)



Transistor (47) PN 56

□ 1965 CI: de 10^5 a 10^6 op/seg

- IBM System 360 (1965)
- DEC PDP-8 (1965)

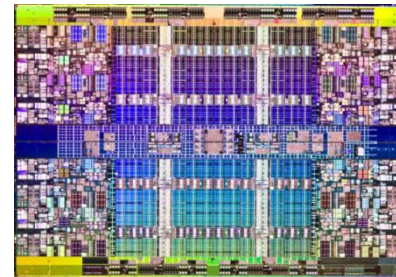


□ 1971 Microprocesador

- Intel 4004

CI (58) PN2000

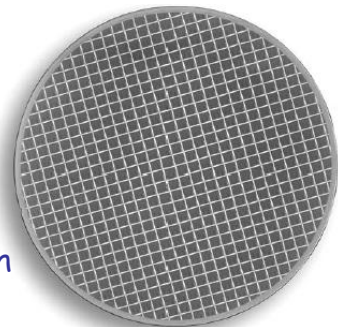
□ 2003 más de 3×10^{13} op/seg



Intel Xeon 7500, 8c, 16Th

□ 2010 $> 10^{15}$ op/seg (1 petaflop)

- 1º Sequoia IBM BlueGene/Q 1572864 cores, 16.33Pflops
MareNostrum 94Tflops 10240 cores (465 Jul2012)



Oblea (Wafer)

Evolución y tendencias

Top 500 jun 2011 a jun 2012

De lista anterior a actual (12 meses)

Total de 58.9 Pflops a 123,41Pflops

En último 31.1 Tflops a 60,82 Tflops

NAME	SPECS	SITE	COUNTRY	CORES	R _{max} Pflop/s
1 Sequoia	IBM BlueGene/Q, Power BQC 16C 1.60 GHz, Custom interconnect	DOE / NNSA / LLNL	USA	1,572,864	16.33
2 K computer	Fujitsu SPARC64 VIIIfx 2.0GHz, Tofu interconnect	RIKEN AICS	Japan	705,024	10.51
3 Mira	IBM BlueGene/Q, Power BQC 16C 1.60 GHz, Custom interconnect	DOE / SC / ANL	USA	786,432	8.153
4 SuperMUC	IBM iDataPlex DX360M4, Xeon E5-2680 8C 2.70GHz, Infiniband QDR	Leibniz Rechenzentrum	Germany	147,456	2.897
5 Tianhe-1A	NUDT YH MPP, Xeon X5670 6C 2.93 GHz, NVIDIA 2050	NUDT/NSCC/Tianjin	China	186,368	2.566



□ La Ley de Moore

Cramming More Components onto Integrated Circuits

GORDON E. MOORE, LIFE FELLOW, IEEE

With unit cost falling as the number of components per circuit rises, by 1975 economics may dictate squeezing as many as 65 000 components on a single silicon chip.

The future of integrated electronics is the future of NOTIONS

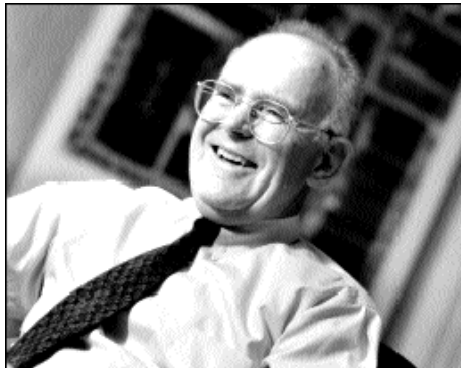


Fig. 2.

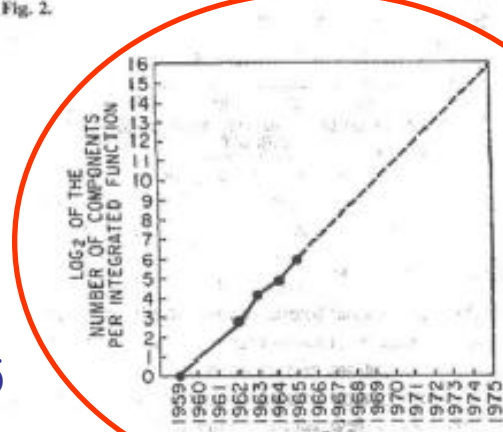


Fig. 3.

Each approach evolved rapidly and converged so that each borrowed techniques from another. Many researchers believe the way of the future to be a combination of the

diagram to technological realization without any sp engineering.

It may prove to be more economical to build systems out of smaller functions, which are separately packaged and interconnected. The availability of large functional blocks combined with functional design and construction, should allow the manufacturer of large systems to design and construct a considerable variety of equipment both rapidly and economically.

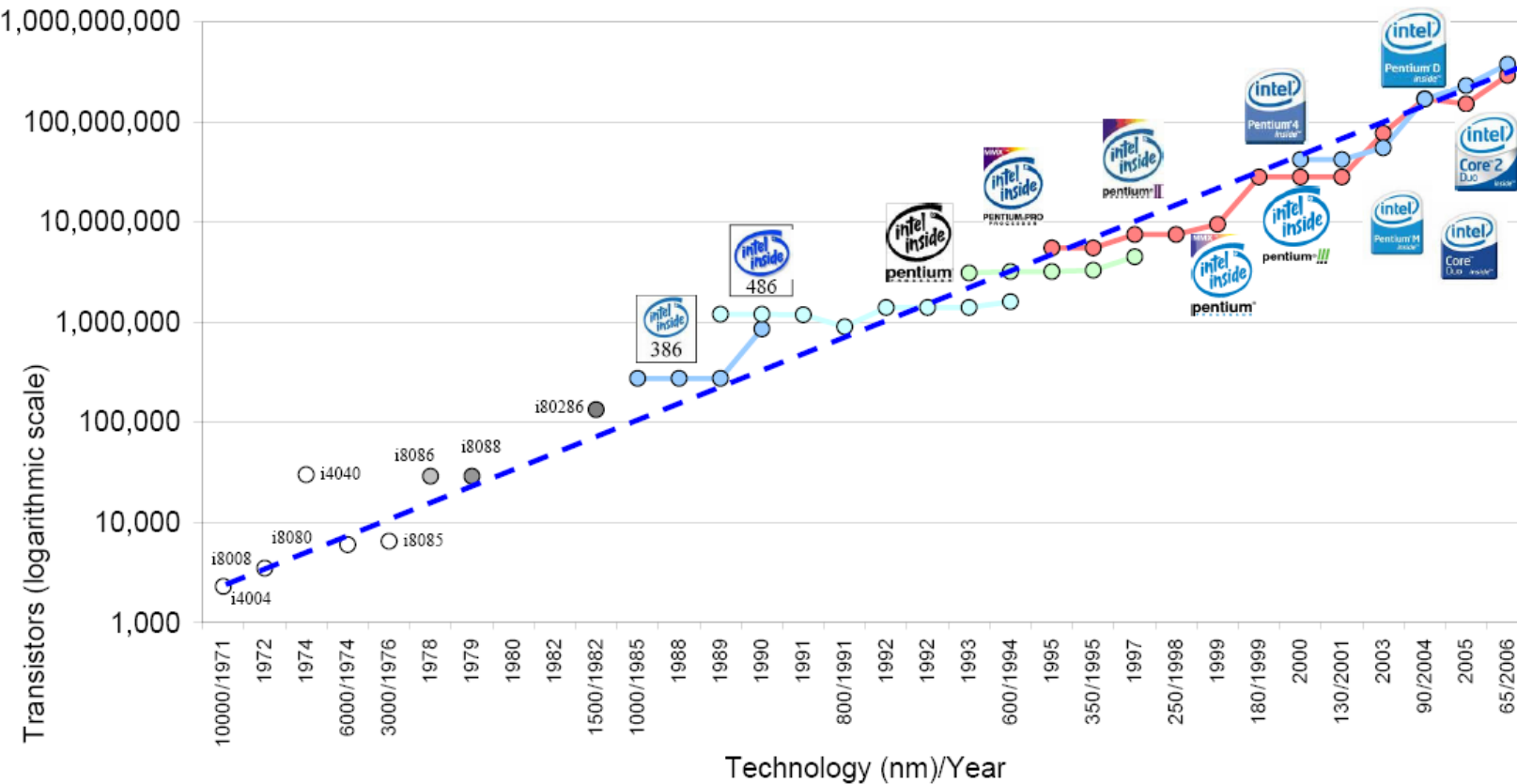
IX. LINEAR CIRCUITRY

Integration will not change linear systems as radically as digital systems. Still, a considerable degree of integration will be achieved with linear circuits. The lack of low-value capacitors and inductors is the greatest fundamental limitation to integrated electronics in the linear area.

Electronic- Abril1965

La ley de Moore

□ La Ley de Moore se ha cumplido



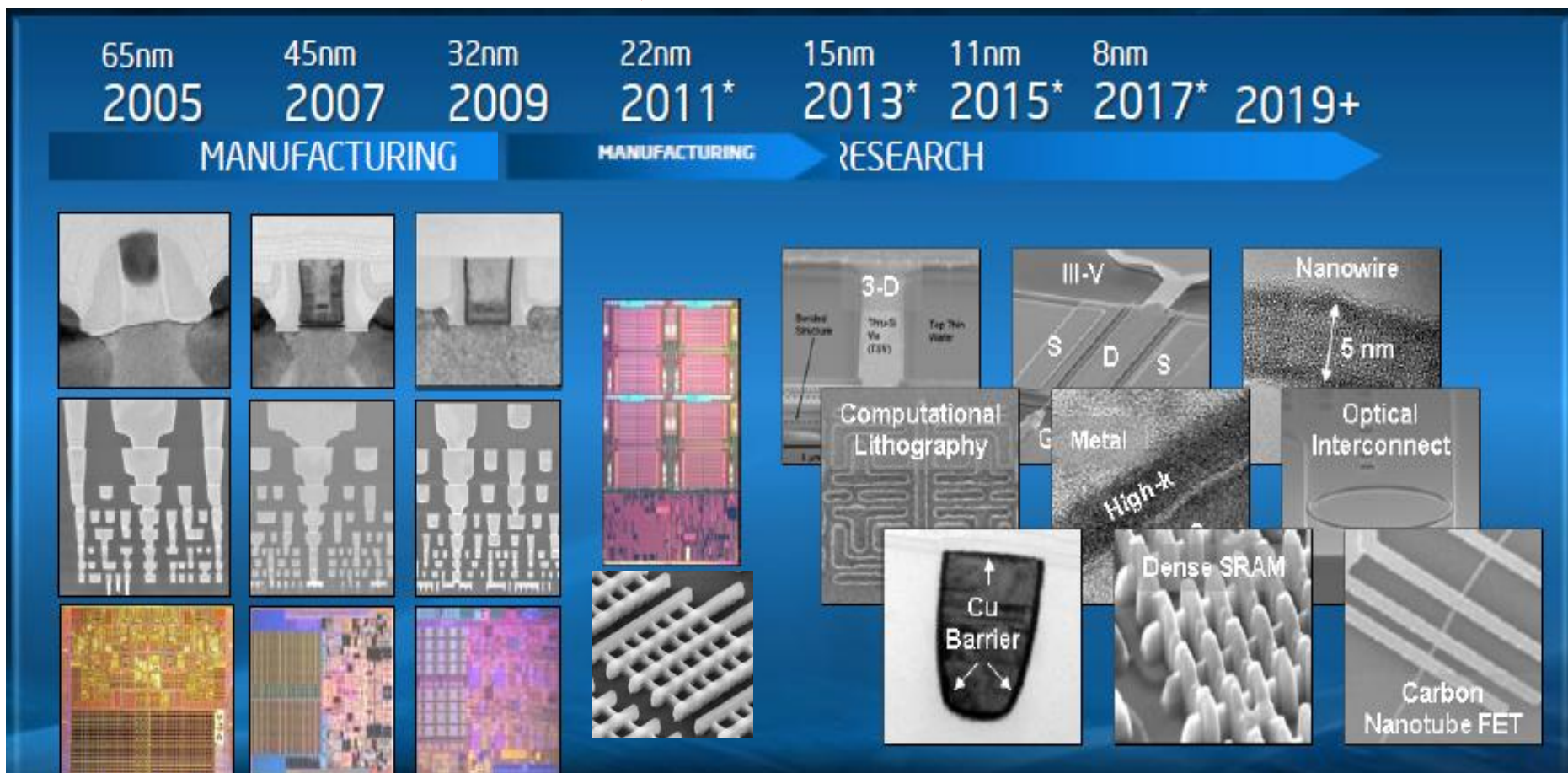
Fuente: Intel Corporation

La Ley de Moore

Según INTEL



El escalado de la tecnología puede acabar en 10 años
El grosor del aislante de la puerta esta limitado a 2nm



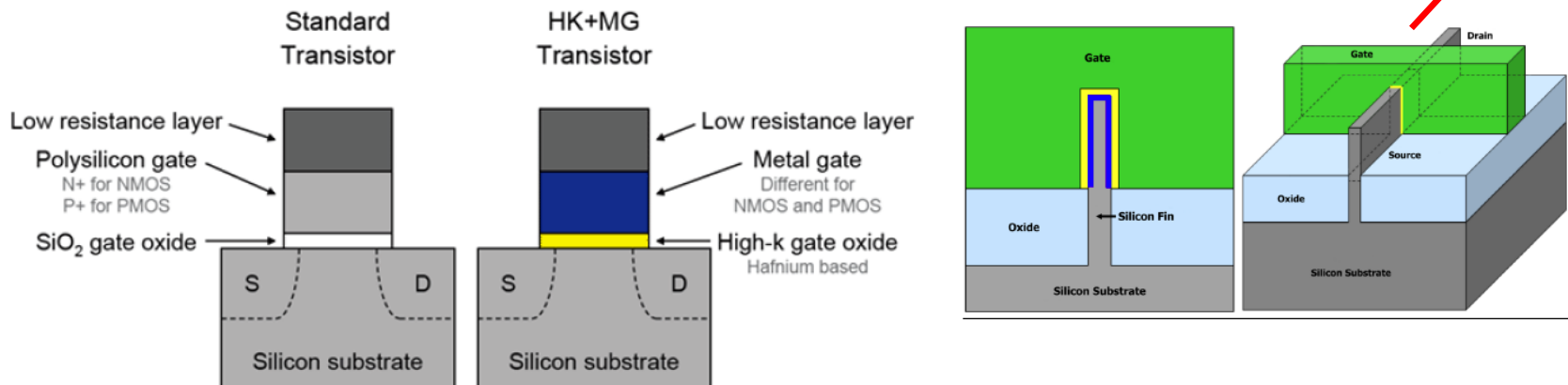
Fuente: Intel Corporation

La Ley de Moore

Process Name	P856	P858	Px60	P1262	P1264	P1266	P1268	P1270
1 st production	1997	1999	2001	2003	2005	2007	2009	2011
Process	250 nm	180 nm	130 nm	90 nm	65 nm	45 nm	32 nm	22 nm
Wafer size	200	200	200/300	300	300	300	300	300
Inter-connect	Al	Al	Cu	Cu	Cu	Cu	Cu	?
Metal layers	5	6	6	7	8	9	9	?
Channel	Si	Si	Si	Strained Si	Strained Si	Strained Si	Strained Si	Strained Si
Gate Dielectric	SiO ₂	High-k	High-k	High-k				
Gate electrode	Poly-Si	Poly-Si	Poly-Si	Poly-Si	Poly-Si	Metal	Metal	Metal
Lithography	248 nm	248 nm	248 nm	193 nm	193 nm	193 nm	EUV 193nm	EUV 13.4 nm

(Subject to change)

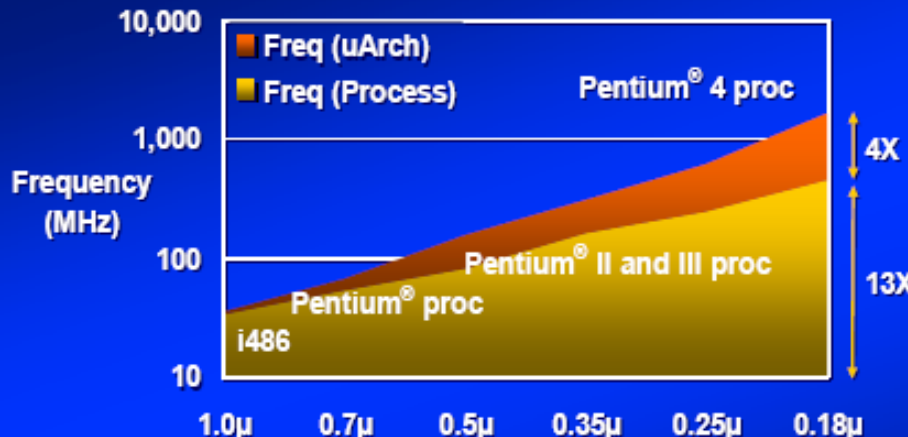
Manufacturing process details from 1997 to 2011



Fuente: Intel Corporation

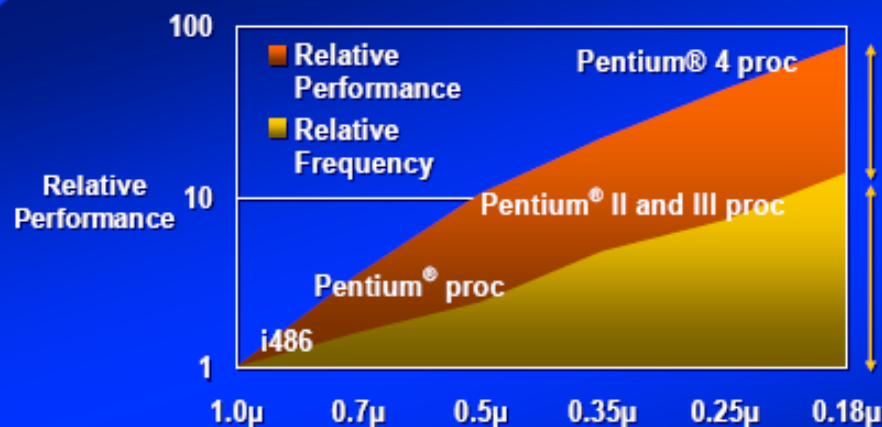
- Microelectrónica + Microarquitectura
- Una industria con un progreso que no tiene equivalente
- Doblado cada 18 meses (1982-2000):
 - Total de incremento 3,200X
 - Los coches viajarían a 176,000 MPH; y recorrerían 64,000 millas/gal.
 - El viaje: L.A. a N.Y. en 5.5 seg (MACH 3200)
- Doblado cada 24 meses (1971-2001):
 - total de incremento 36,000X
 - Los coches viajarían a 2,400,000 MPH; y recorrerían 600,000 millas/gal.
 - El viaje: L.A. a N.Y. en 0.5 seg (MACH 36,000)

Microelectrónica y microarquitectura



Frequency Increased 50X

- 13X due to process technology
- Additional 4X due to microarchitecture



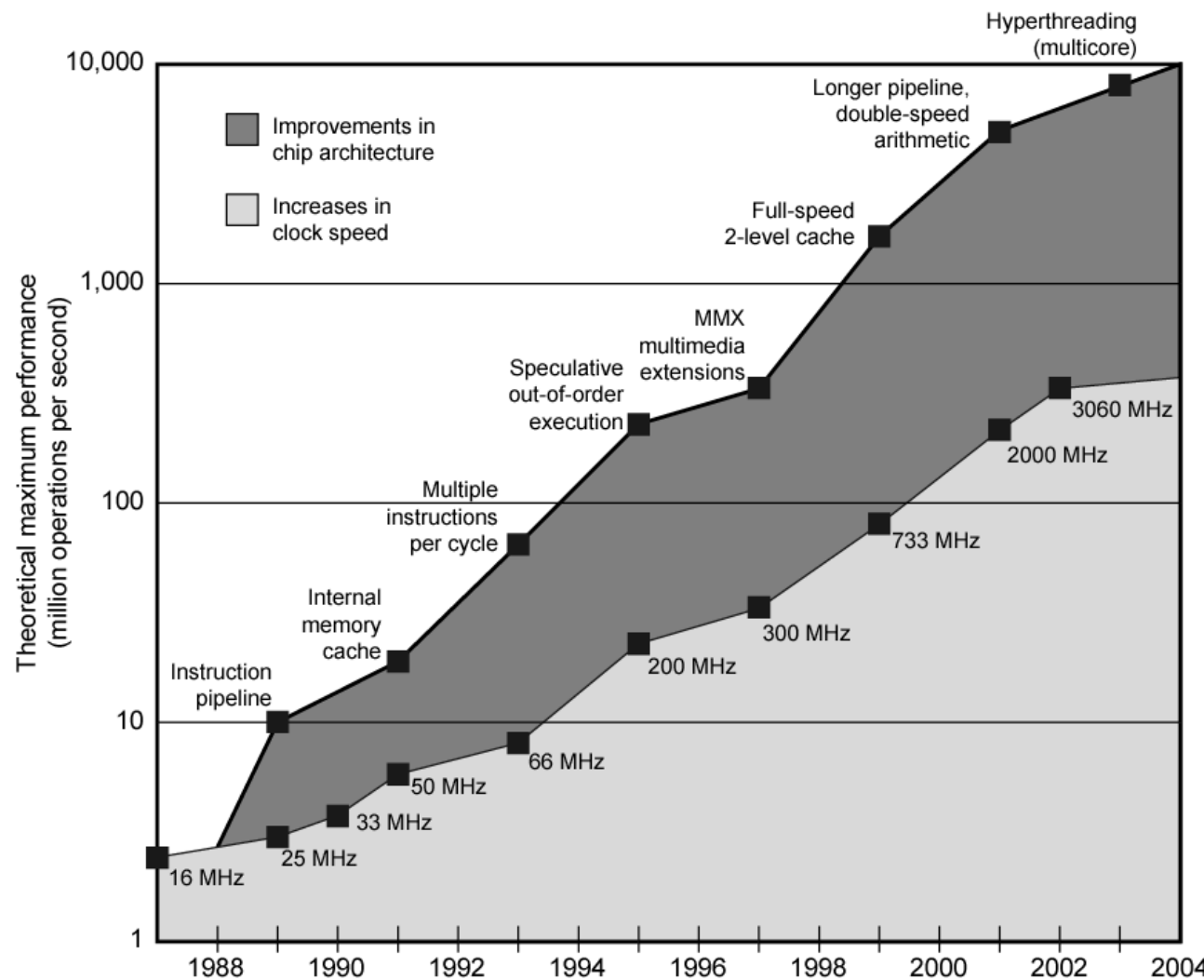
Performance Increased >75X

- 13X due to process technology
- Additional >6X due to microarchitecture

*Note: Performance measured using SpecINT and SpecFP

50X in frequency and 75X in performance

Microelectrónica y microarquitectura



□ Resumen de evolución en tecnología de implementación

	Capacidad	Velocidad Latencia
Logica	X2 en 3 años	X2 en 3 años
DRAM	X4 en 3 años	X2 en 10 años
Disco	X2 en 3 años	X2 en 10 años

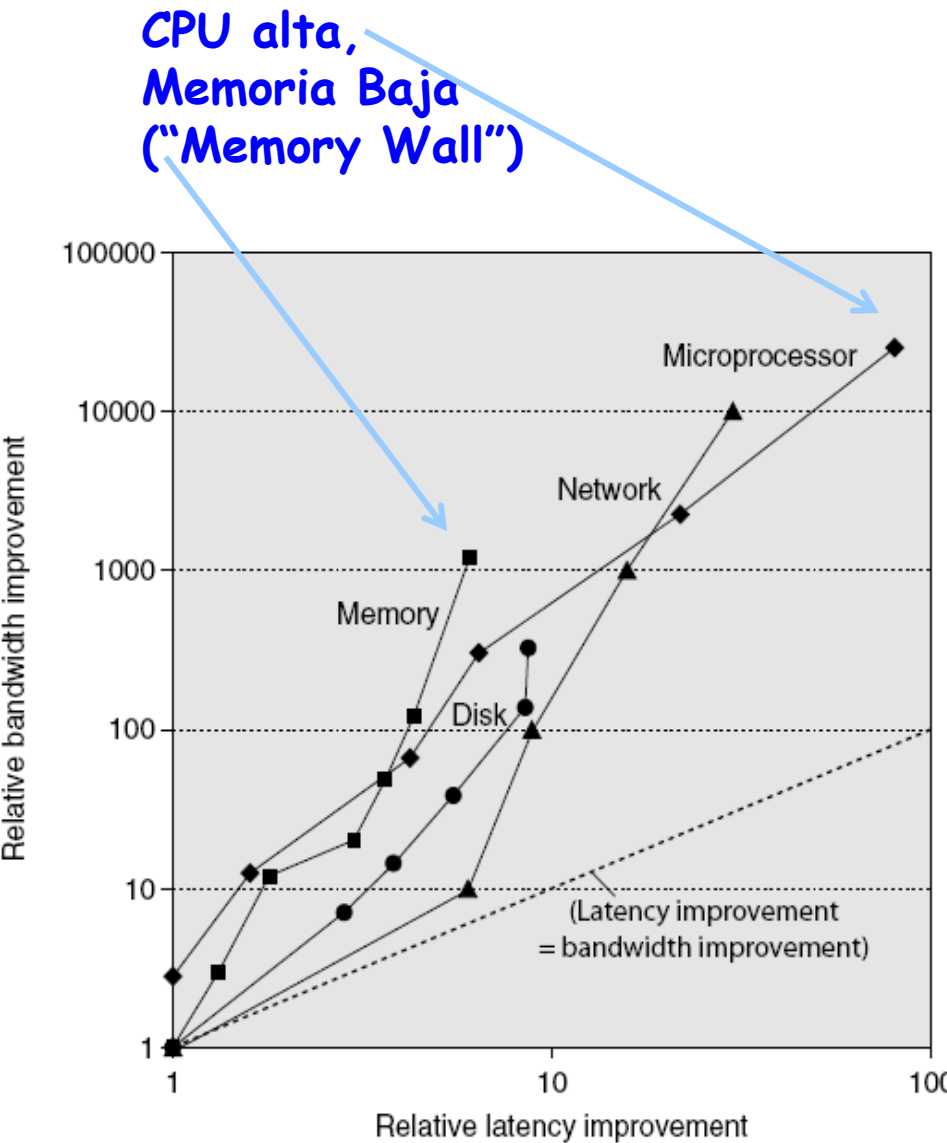
□ Uso de los computadores

- ✓ La cantidad de memoria necesaria crece entre 1.5 y 2 por año. Más bits para direccionamiento.
- ✓ Programación en LAN. Los compiladores son fundamentales, son el interfase entre las aplicaciones y el computador.

Una arquitectura debe ser diseñada para soportar el paso del tiempo
Cambios en tecnología, Sw y aplicaciones.

Arquitectura IBM360-390 (1964) ,X86 (1978)

- Latencia y ancho de banda en los últimos 25 años

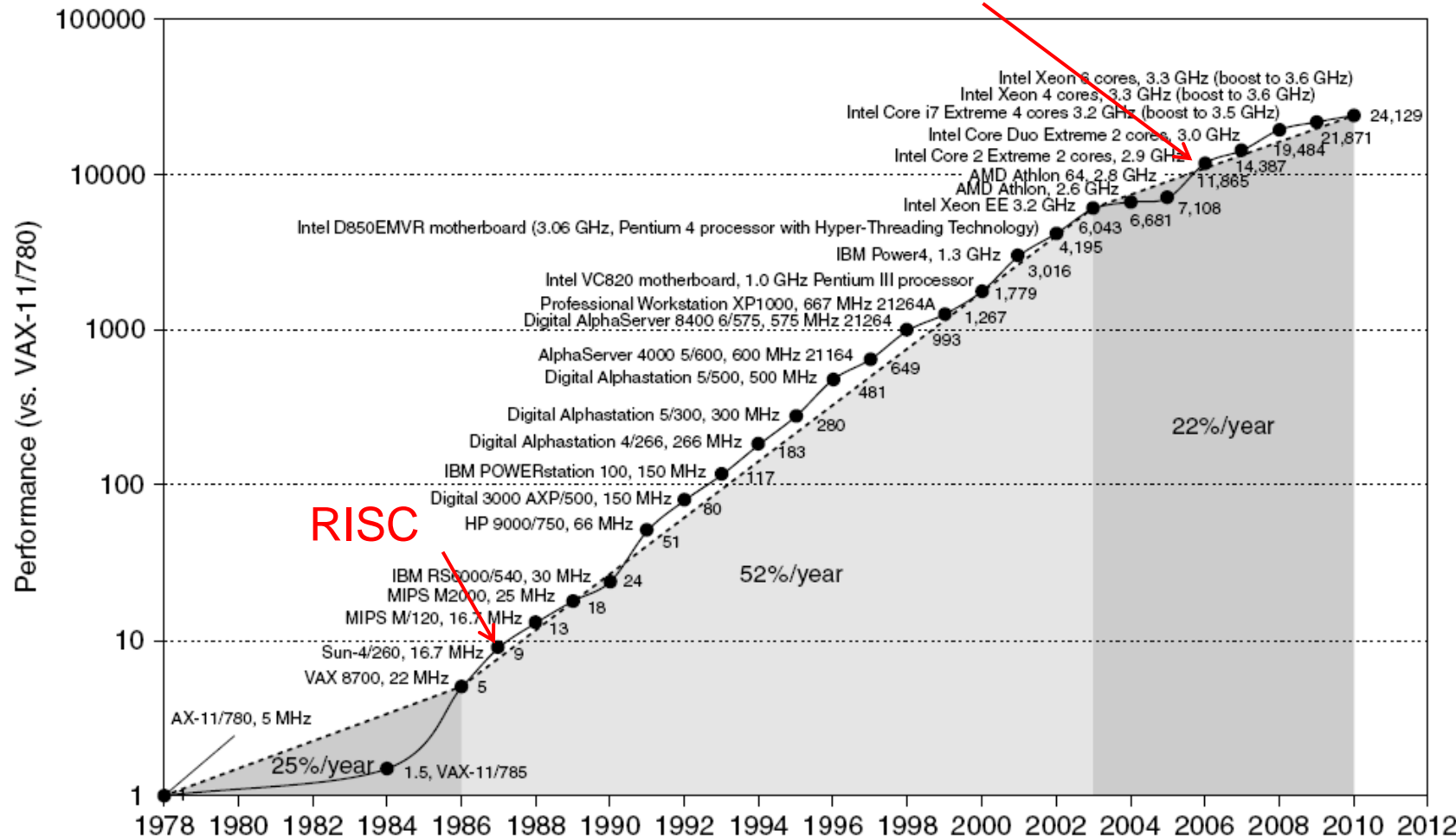


- Procesador: '286, '386, '486, Pentium, Pentium 4, Core i7 (80x, 25000x)
- Ethernet: 10Mb, 100Mb, 1G/s, 10Gb/s, 100Gb/s (30x, 10000x)
- Modulo de Memoria: DRAM, Page Mode DRAM, SDRAM, DDR2-3 SDRAM (6x, 1200x)
- Disco : 3600, 5400, 7200, 10000, 15000 RPM (14x, 350x)

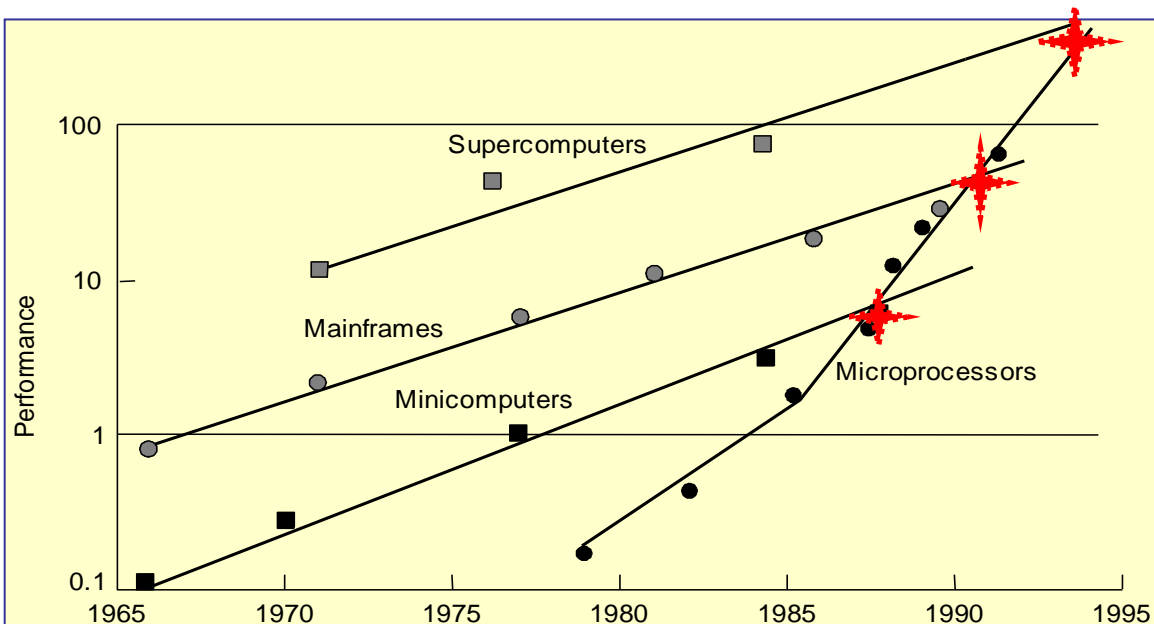
❑ Evolución del rendimiento de los procesadores

Medida de rendimiento utilizada:
número de veces más rápido qué el VAX-11/780

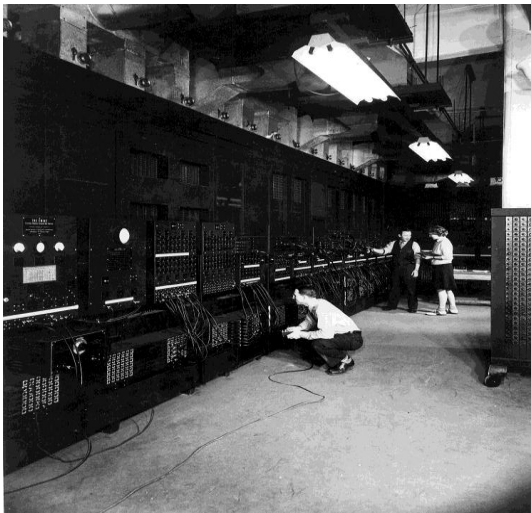
Multicore



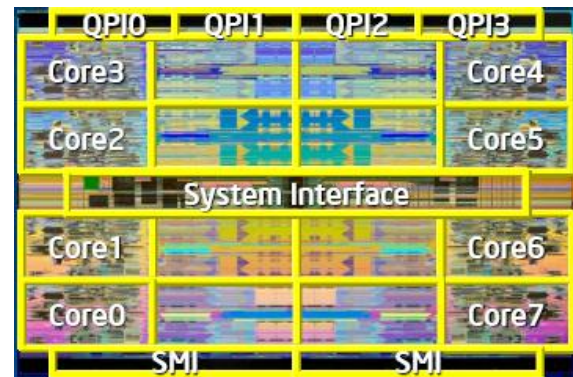
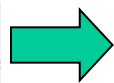
Evolución



Dispositivos móviles (PMD)
Eficiencia energética y RT
Desktop
precio- rendimiento
Servidores
Disponibilidad-escalaabilidad-
Throughput
Cluster y Servidores HPC
"SaaS" - Rendimiento
Sistemas empotrados
Precio



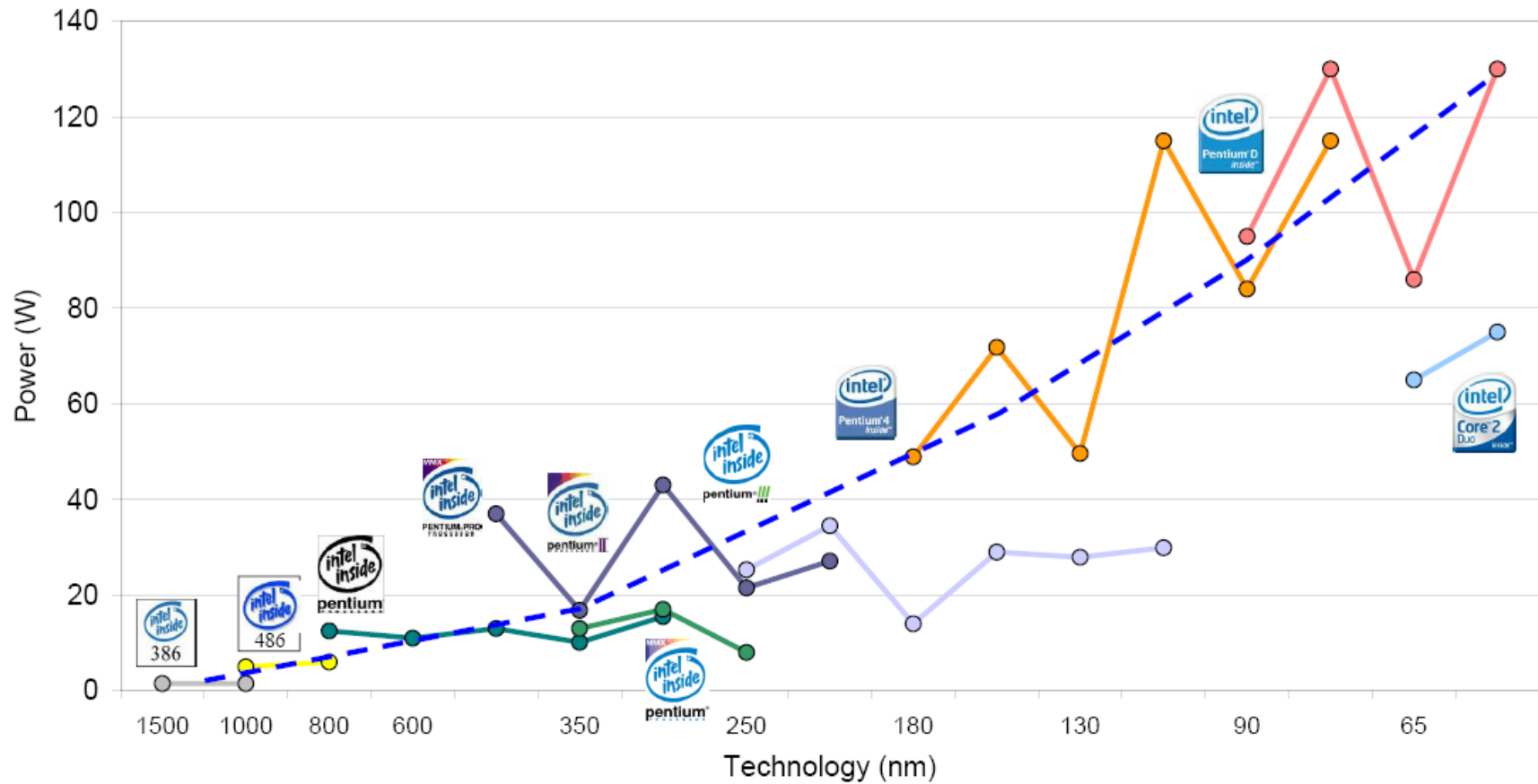
Eniac 1946



Nehalem EX
2300 Mtrans
90 nm, 100w
24MB de cache
8 cores 16 threads

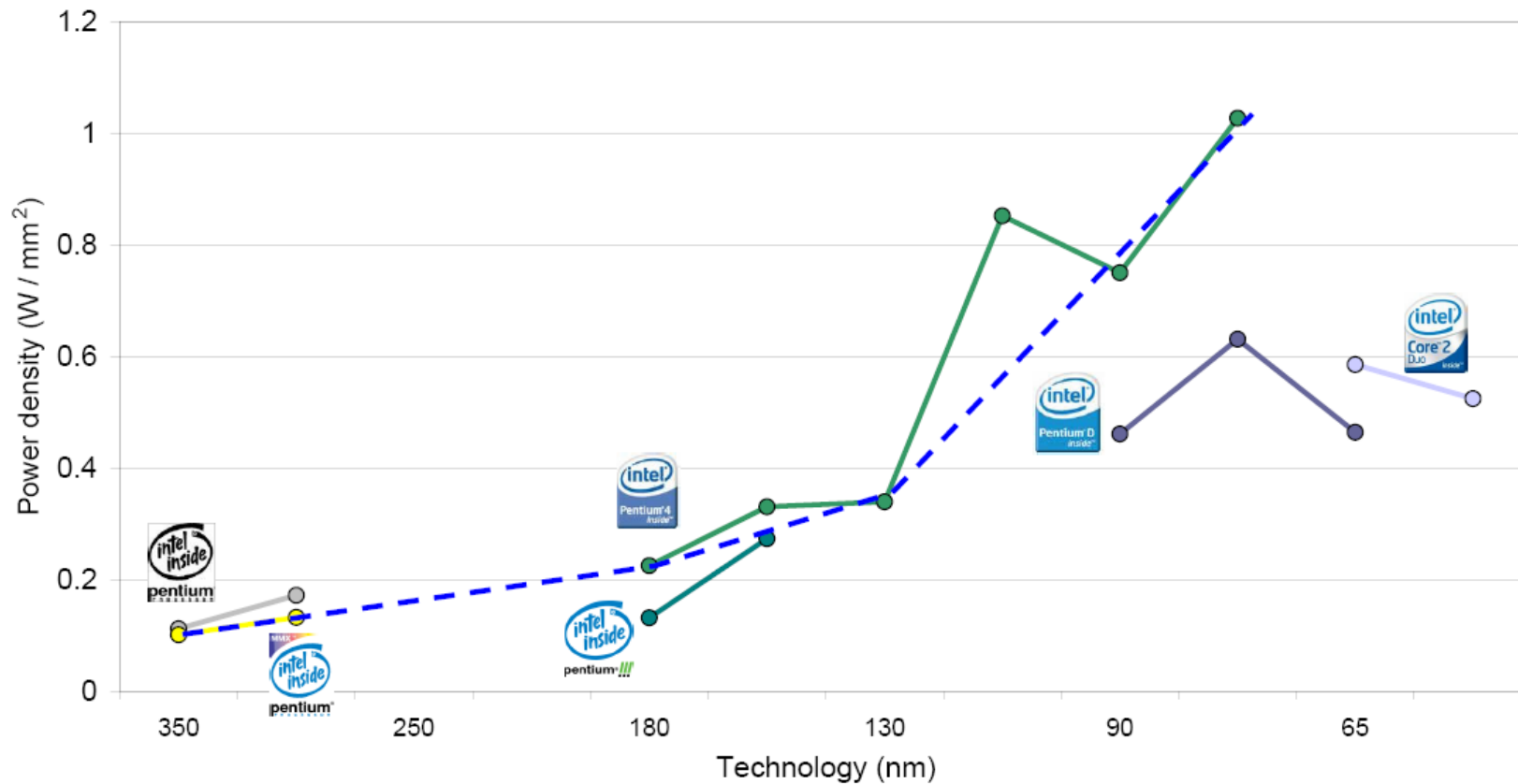
La Ley de Moore

1º problema consumo “Power Wall”



Fuente: Intel Corporation

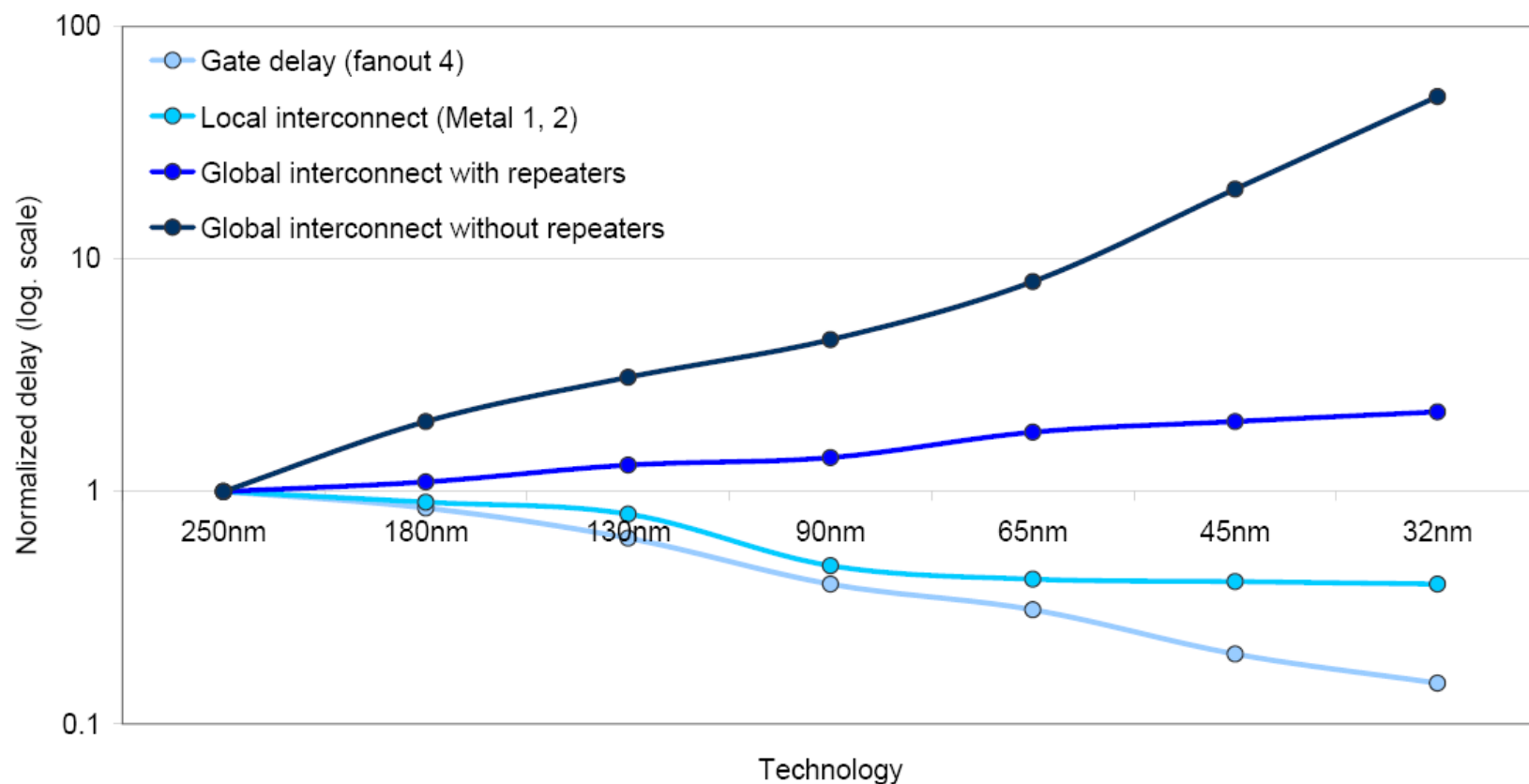
1º problema consumo “Power Wall”



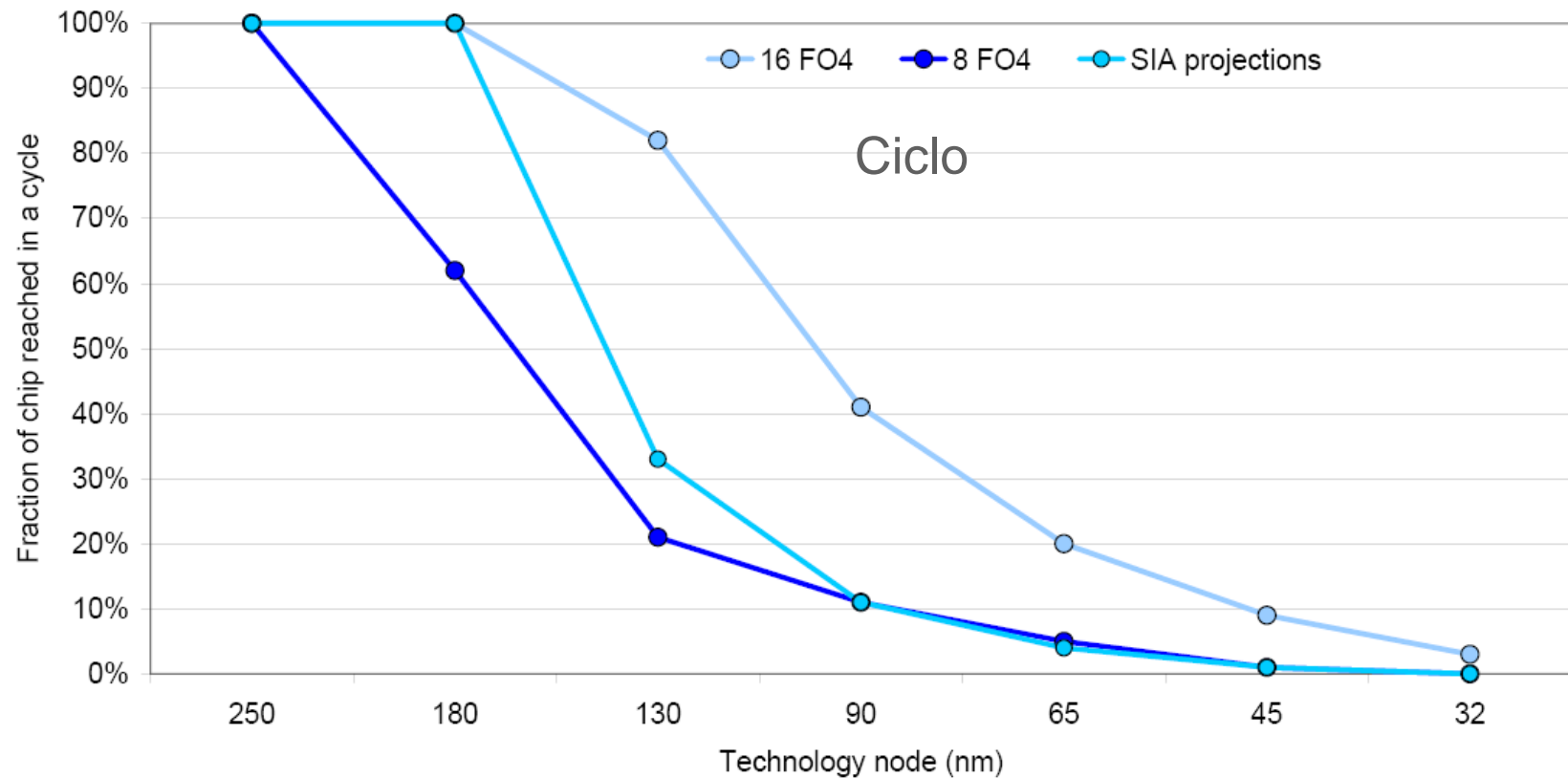
Fuente: Intel Corporation

2º problema retardo interconexiones

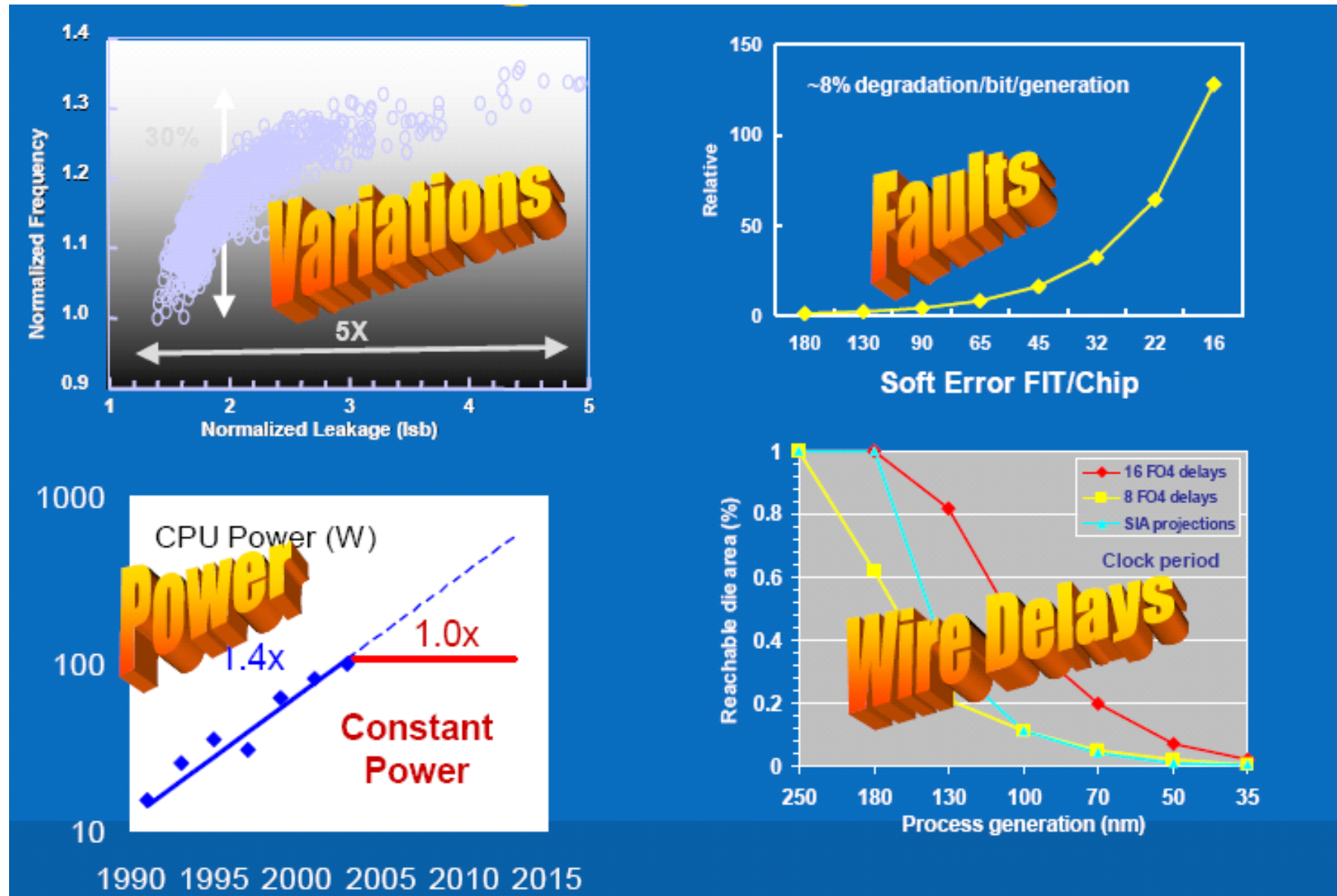
El rendimiento del transistor (retardo) escala linealmente con la tecnología
El retardo de la interconexión no escala con la tecnología



2º problema retardo interconexiones



Multi - Many cores



El punto de inflexión

New York Times, May 17, 2004 ... Intel, the world's largest chip maker, publicly acknowledged that it had hit a "thermal wall" on its microprocessor line. As a result, the company is changing its product strategy and disbanding one of its most advanced design groups. Intel also said that it would abandon two advanced chip development projects ... Now, Intel is embarked on a course already adopted by some of its major rivals: obtaining more computing power by stamping multiple processors on a single chip rather than straining to increase the speed of a single processor ... Intel's decision to change course and embrace a "dual core" processor structure shows the challenge of overcoming the effects of heat generated by the constant on-off movement of tiny switches in modern computers ... some analysts and former Intel designers said that *Intel was coming to terms with escalating heat problems so severe they threatened to cause its chips to fracture at extreme temperatures...*



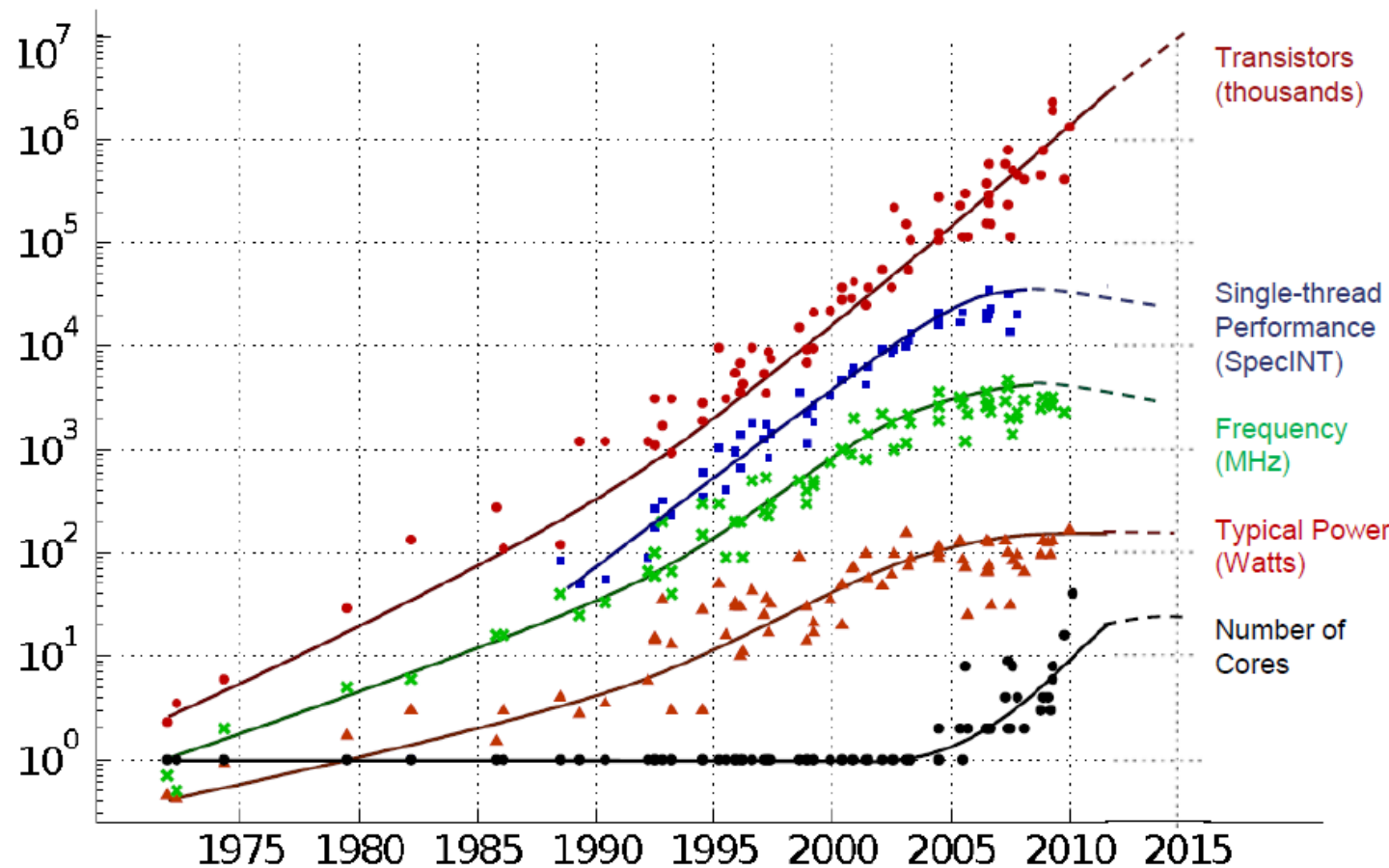
INTEL'S PC ROADMAP SEES DOUBLE

On Friday, May 7, 2004, Intel made an announcement regarding its processors' roadmap that caught many in the industry by surprise. In a statement, Intel announced it was canceling two processors (Tejas and Jayhawk) and accelerating a strategy to bring dual-core

...

The cancellation of Tejas, and the volume server version Jayhawk, signals the end of Intel's plans to advance the monocore CPU architecture. All future Intel processor development plans will be based on multicore designs.

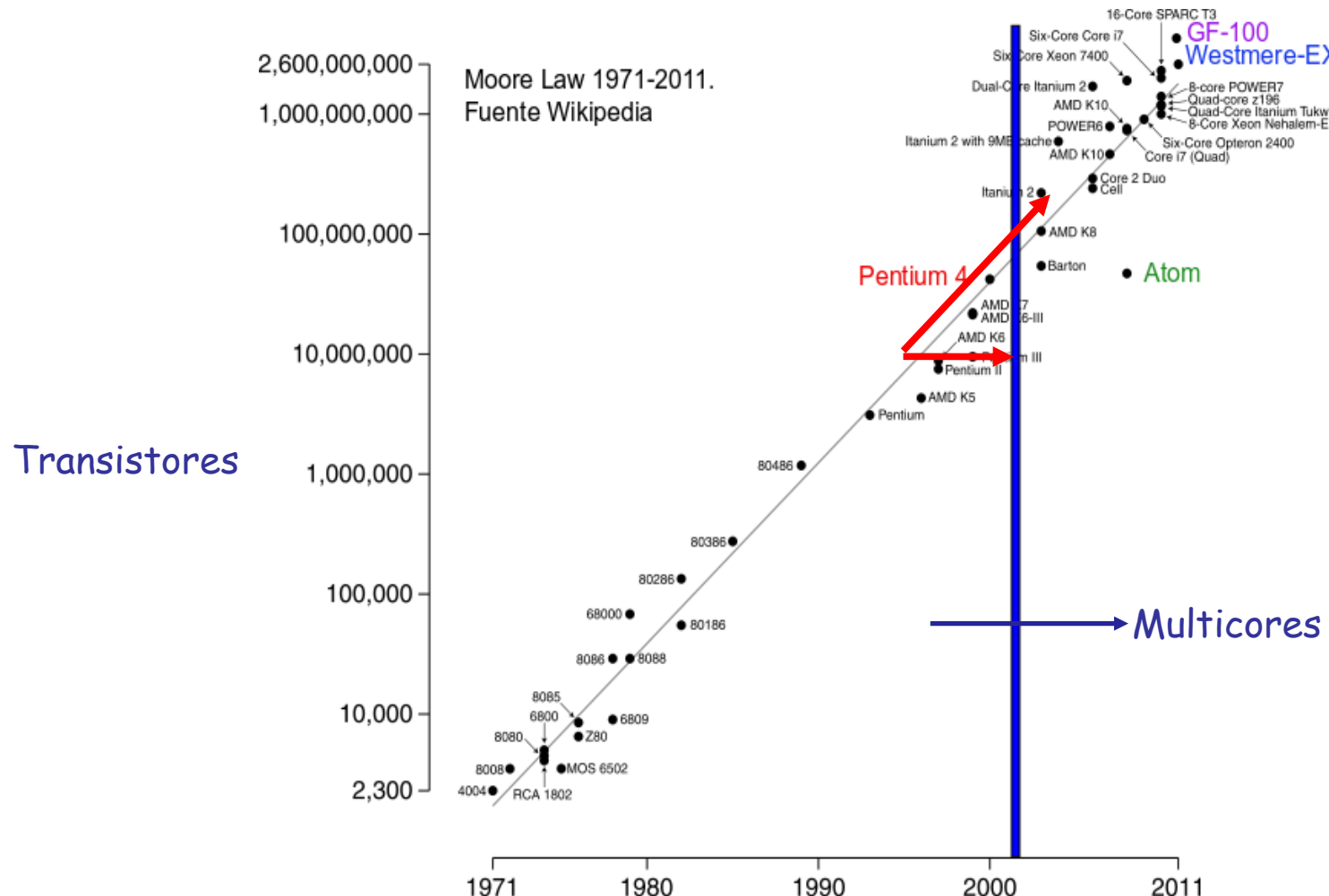
30 años de evolución



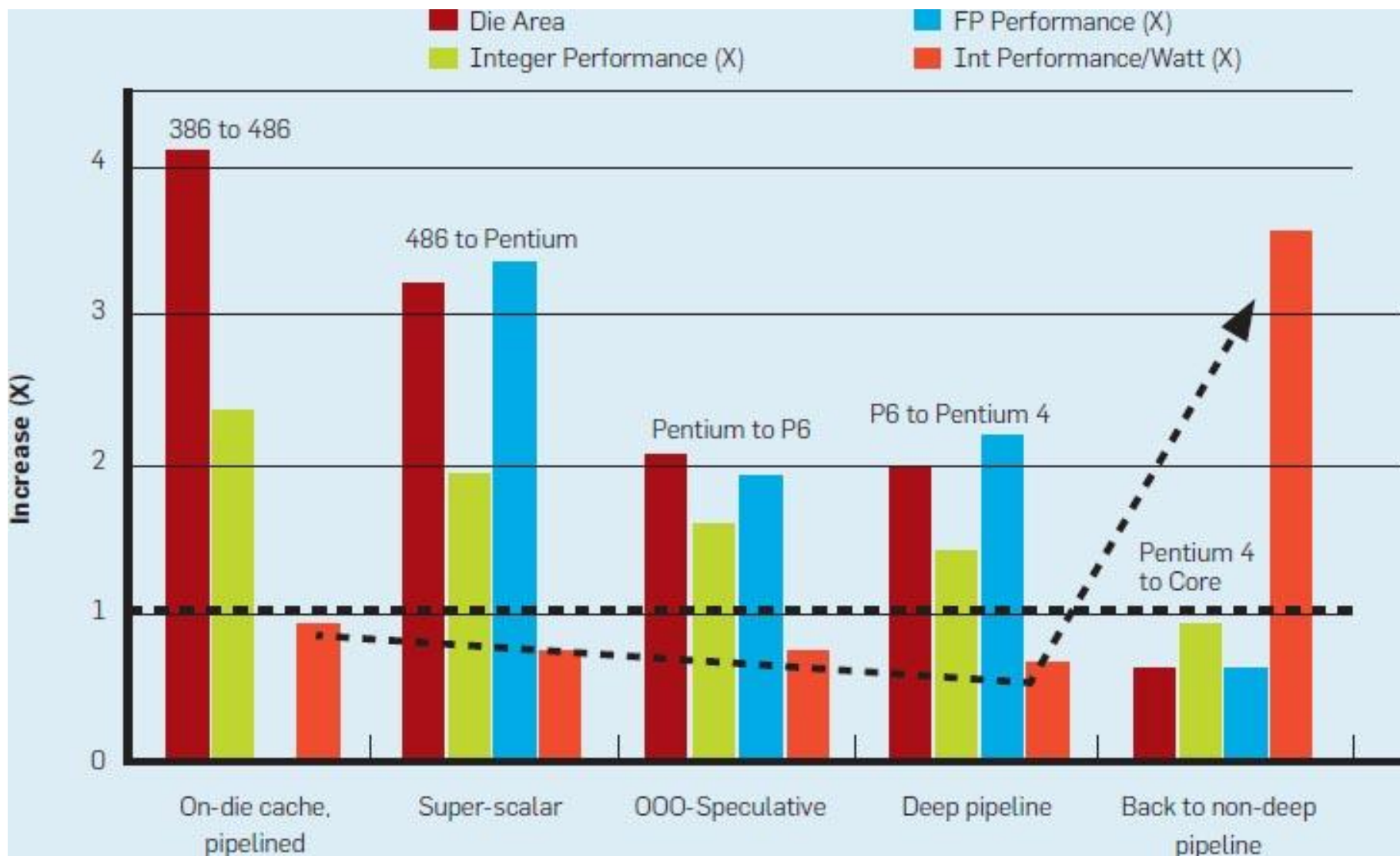
Original data collected and plotted by M. Horowitz, F. Labonte, O. Shacham, K. Olukotun, L. Hammond and C. Batten
Dotted line extrapolations by C. Moore

30 años de evolución

It is difficult to make predictions, specially about the future - Mark Twain-



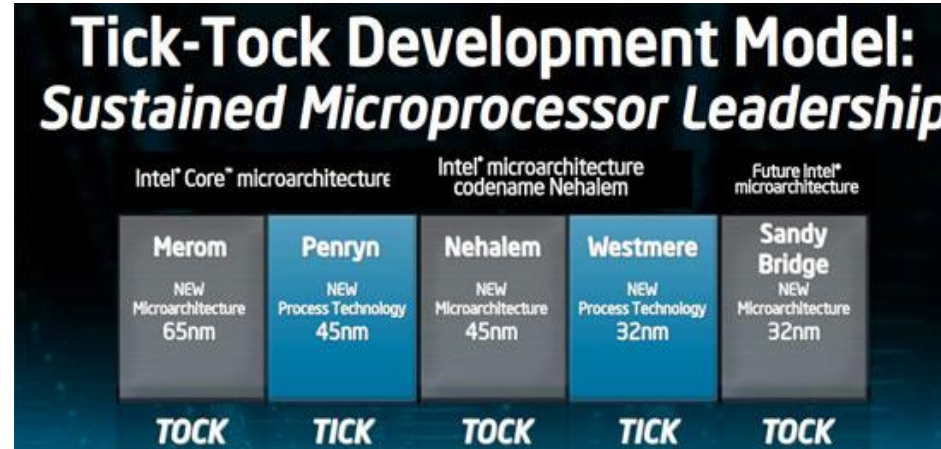
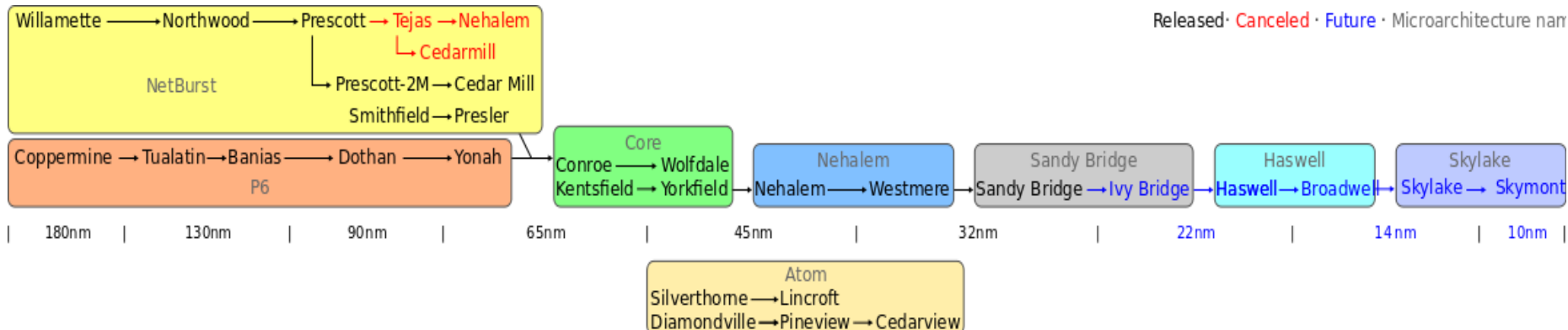
30 años de evolución



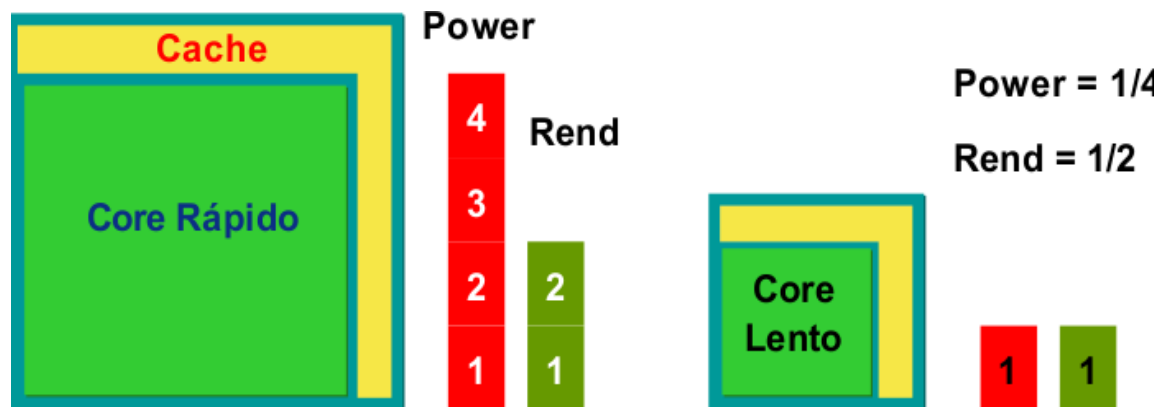
30 años de evolución

■ Hoja de Ruta (Intel)

■ Fuente Intel



- La Regla de Pollack (Intel)
 - $\text{Perf (R)} \sim \sqrt{R}$
 - El rendimiento mejora sub-linealmente con los recursos
 - Transistores/Consumo $2x \rightarrow \text{Rendimiento } 1.4x$
 - Transistores/Consumo $4x \rightarrow \text{Rendimiento } 2x$



□ Dos conceptos clave

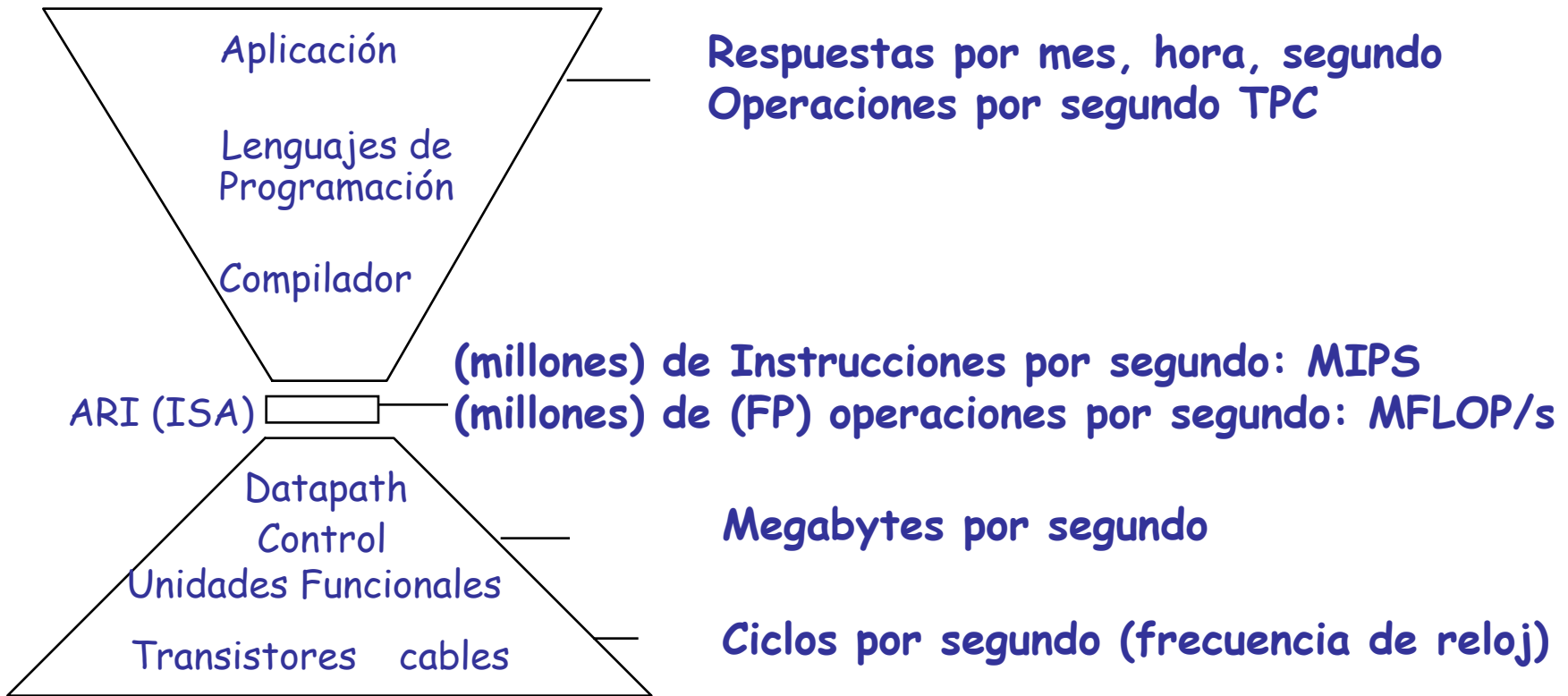
Avión	Wa a París	Velocidad	Pasajeros	Throughput (p.km/h)
Boeing 747	6.5 horas	970 km/h	470	455900
Concorde	3 horas	2160 km/h	132	285120

- ✓ Tiempo de Ejecución (TEj) : Tiempo que tarda en completarse una tarea
 - ✓ (Tiempo de respuesta, latencia)
- ✓ Rendimiento (Performance, Throughput) : tareas por hora, día ,...
- ✓ "X es n veces más rápido que Y" significa

$$\frac{TEj(Y)}{TEj(X)} = \frac{Performance(X)}{Performance(Y)} = n$$

- ✓ Reducir el TEj incrementa el rendimiento

□ Medidas del rendimiento



La única medida fiable es el tiempo de ejecución programas reales
Dos aspectos: Rendimiento del computador, Rendimiento del procesador

□ Rendimiento del procesador

$$T_{CPU} = N * CPI * t$$

- ✓ N : nº de instrucciones (Compiladores y LM)
- ✓ CPI : (LM, implementación, paralelismo)
- ✓ t : período de reloj (implementación, tecnología)

□ Ciclos medios por instrucción (CPI)

$$\begin{aligned} CPI &= (T_{CPU} * \text{Frecuencia de reloj}) / \text{Número de Instrucciones} \\ &= \text{Ciclos} / \text{Número de Instrucciones} \end{aligned}$$

Si asumimos que existen n tipos de instrucciones:

$$T_{CPU} = t * \sum_{j=1}^n (CPI_j * I_j) \quad (I_j = \text{nº instrucciones tipo } j \text{ ejecutadas})$$

$$CPI = \sum_{j=1}^n CPI_j * F_j \quad (\text{donde } F_j \text{ es la frecuencia de aparición de la instrucción tipo } j)$$

Ejemplo : ALU 1 ciclo(50%), Ld 2 ciclos(20%), St 2 ciclos(10%), saltos 2 ciclos(20%)
CPI: ALU 0.5, Ld 0.4, St 0.2, salto 0.4 TOTAL CPI = 1.5

Invertir recursos donde se gasta el tiempo

□ Rendimiento global del computador : Benchmarks

- ✓ La única forma fiable es ejecutando distintos programas reales.
 - ✓ Programas "de juguete": 10~100 líneas de código con resultado conocido. *Ej:: Criba de Erastótenes, Puzzle, Quicksort*
 - ✓ Programas de prueba (*benchmarks*) sintéticos: simulan la frecuencia de operaciones y operandos de un abanico de programas reales. *Ej:: Whetstone, Dhrystone*
- ✓ Programas reales típicos con cargas de trabajo fijas (actualmente la medida más aceptada) SPEC
- ✓ Otros
 - ✓ HPC: LINPACK, SPEChpc96, Nas Parallel Benchmark
 - ✓ Servidores: SPECweb, SPECSFS(File servers), TPC-C, SPECjbb (Java)
 - ✓ Graficos: SPECviewperf(OpenGL), SPECapc(aplicaciones 3D)
 - ✓ Winbench, EEMBC

□ Rendimiento global del computador : SPEC

- ✓ Programas reales típicos con cargas de trabajo fijas (actualmente la medida más aceptada)
 - ✓ **SPEC89**: 10 programas proporcionando un único valor.
- ✓ **SPEC92**: 6 programas enteros (SPECint92) y 14 en punto flotante (SPECfp92). Sin límites en opciones de compilación
- ✓ **SPEC95**: 8 programas enteros (SPECint95) y 10 en punto flotante (SPECfp95). Dos opciones en compilación: la mejor para cada programa y la misma en todos (base)
- ✓ **SPEC2000** 12 programas enteros y 14 en punto flotante. Dos opciones de compilación (la mejor: spec--, la misma spec--_base
- ✓ **SPEC2006** 12 programas enteros y 17 en punto flotante. Dos opciones de compilación (la mejor: spec--, la misma spec--_base

➤ SPEC2006 versus SPEC2000

Evolución de la jerarquía de memoria (256KB, 256MB a 4MB, 1GB)
 Más programas más complejos

Benchmark Description	CPU2000			CPU2006		
	Integer	Lng	RT	Integer	Lng	RT
GNU C compiler	176.gcc	C	1,100	403.gcc	C	8,050
Manipulates strings & prime numbers in Perl language	253.perlbench	C	1,800	400.perlbench	C	9,766
Minimum cost network flow solver (combinatorial optimization)	181.mcf	C	1,800	429.mcf	C	9,120
Data compression utility	256.bzip2	C	1,500	401.bzip2	C	9,644
Data compression utility	164.gzip	C	1,400			
Video compression & decompression				464.h264ref	C	22,235
Artificial intelligence, plays game of Chess	186.crafty	C	1,000	458.sjeng	C	12,141
Artificial intelligence, plays game of Go				445.gobmk	C	10,489
Artificial intelligence used in games for finding 2D paths across terrains				473.astar	C++	7,017
Natural language processing	197.parser	C	1,800			
XML processing				483.xalancbmk	C++	6,869
FPGA circuit placement and routing	175.vpr	C	1,400			
EDA place and route simulator	300.twolf	C	3,000			
Search gene sequence				456.hammer	C	9,333
Ray tracing	252.eon	C++	1,300			
Computational group theory	254.gap	C	1,100			
Database program	255.vortex	C	1,900			
Library for simulating a quantum computer				462.libquantum	C	20,704
Discrete event simulation				471.omnetpp	C++	6,270
	hours	5.3	19,100	hours	36.6	131,638

➤ SPEC2006 versus SPEC2000

Benchmark Description	CPU2000			CPU2006		
	Floating Pnt	Lng	RTime	Floating Pnt	Lng	RTime
Weather prediction, shallow water model	171.swim	F77	3,100			
Velocity & distribution of pollutants based on temperature, wind	301.apsi	F77	2,600			
Weather modeling (30km area over 2 days)				481.wrf	C/F	11,215
Physics, particle accelerator model	200.sixtrack	F77	1,100			
Parabolic/elliptic partial differential equations	173.applu	F77	2,100			
Multi-grid solver in 3D potential field	172.mgrid	F77	1,800			
General relativity, solves Einstein evolution equations				436.cactusADM	C/F	11,927
Computational electromagnetics (solves Maxwell equations in 3D)				459.GemsFDTD	F	10,583
Quantum chromodynamics	168.wupwise	F77	1,600			
Quantum chromodynamics, gauge field generation with dynamical quarks				433.milc	C	9,180
Fluid dynamics, analysis of oscillatory instability	178.galgel	F90	2,900			
Fluid dynamics, computes 3D transonic transient laminar viscous flow				410.bwaves	F	13,592
Computational fluid dynamics for simulation of astrophysical phenomena				434.zeusmp	F	9,096
Fluid dynamics, large eddy simulations with linear-eddy model in 3D				437.leslie3d	F	9,358
Fluid dynamics, simulates incompressible fluids in 3D				470.lbm	C	13,718
Molecular dynamics (simulations based on newtonian equations of motion)				435.gromacs	C/F	7,132
Biomolecular dynamics, simulates large system with 92,224 atoms				444.namd	C++	8,018
Computational chemistry	188.ammp	C	2,200			
Quantum chemistry package (object-oriented design)				465.tonto	F	9,822
Quantum chemistry, wide range of self-consistent field calculations				416.gamess	F	19,575
Computer vision, face recognition	187.facerec	F90	1,900			
Speech recognition system				482.sphinx3	C	19,528
3D graphics library	177.mesa	C	1,400			
Neural network simulation (adaptive resonance theory)	179.art	C	2,600			
Earthquake modeling (finite element simulation)	183.eqquake	C	1,300			
Crash modeling (finite element simulation)	191.fma3d	F90	2,100			
Number theory (testing for primes)	189.lucas	F90	2,000			
Structural mechanics (finite elements for linear & nonlinear 3D structures)				454.calculix	C/F	8,250
Finite element analysis (program library)				447.deallII	C++	11,486
Linear programming optimization (railroad planning, airlift models)				450.soplex	C++	8,338
Image ray tracing (400x400 anti-aliased image with abstract objects)				453.povray	C++	5,346
	hours	8.0	28,700	hours	52	186,164

➤ Evolución de los SPEC

Year	Iteration	Suites	Languages	Measures	Reference Machine
1989	SPEC CPU	10 SPEC programs RT: 18.66 hours (scores not rounded)	C(4) & Fortran(5) & C/Fortran(1)	SPECmark SPECthruput	Vax 11/780 5 MHz 8K cache off-chip memory N/A
1992	SPEC CPU92	6 CINT92 programs RT: 6.21 hours 14 CFP92 programs RT: 41.27 hours (scores rounded to 10s place)	C(6) C(2) & Fortran(12)	SPECint92 SPECfp92 SPECint_rate92 SPECfp_rate92	same as SPEC89
1995	SPEC CPU95	8 CINT95 programs RT: 5.25 hours 10 CFP95 programs RT: 11.00 hours (scores rounded to 100s place)	C(8) Fortran(10)	SPECint95 SPECint_base95 SPECfp95 SPECfp_base95 SPECint_rate95 SPECint_rate_base95 SPECfp_rate95 SPECfp_rate_base95	SPARCstation 10/40 40 MHz SuperSPARC I 20K/16K I/D L1 on-chip no L2 cache 128MB memory
2000	SPEC CPU2000	12 CINT2000 programs RT: 5.31 hours 14 CFP2000 programs RT: 7.97 hours (scores rounded to 100s place)	C(11) & C++(1) C(4) & Fortran77(6) & Fortran90(4)	same set of 8 measures defined for SPEC CPU95	Ultra 5 model 10 300 MHz UltraSPARC III 16K/16K I/D L1 on-chip 2MB L2 cache off-chip 256MB memory
2006	SPEC CPU2006	12 CINT2006 programs RT: 36.57 hours 17 CFP2006 programs RT: 51.71 hours (scores not rounded)	C(9) & C++(3) C(3) & C++(4) & Fortran(6) & C/Fortran(4)	same set of 8 measures defined for SPEC CPU95	Ultra Enterprise 2 296 MHz UltraSPARC II 16K/16K I/D L1 on-chip 2MB L2 cache off-chip 1GB memory

Rendimiento

Evolución de los Spec

SPEC2006 benchmark description	SPEC2006	Benchmark name by SPEC generation			
		SPEC2000	SPEC95	SPEC92	SPEC89
GNU C compiler					gcc
Interpreted string processing		perl			espresso
Combinatorial optimization	mcf				li
Block-sorting compression	bzip2		compress		eqntott
Go game (AI)	go	go			
Video compression	h264avc	gzip	ijpeg		
Games/path finding	astar	eon	m88ksim		
Search gene sequence	hmmer	twolf			
Quantum computer simulation	libquantum	vortex			
Discrete event simulation library	omnetpp	vpr			
Chess game (AI)	sjeng	crafty			
XML parsing	xalancbmk	parser			
CFD/blast waves	bwaves				fpppp
Numerical relativity	cactusADM				tomcatv
Finite element code	calculix				doduc
Differential equation solver framework	dealII				nasa7
Quantum chemistry	gamess				spice
EM solver (freq/time domain)	GemsFDTD				matrix300
Scalable molecular dynamics (~NAMD)	gromacs		swim		
Lattice Boltzman method (fluid/air flow)	lbm		hydro2d		
Large eddie simulation/turbulent CFD	LESlie3d		su2cor		
Lattice quantum chromodynamics	milc		wave5		
Molecular dynamics	namd	upwise			
Image ray tracing	povray	apply			
Spare linear algebra	soplex	galgel			
Speech recognition	sphinx3	mesa			
Quantum chemistry/object oriented	tonto	art			
Weather research and forecasting	wrf	quake			
Magneto hydrodynamics (astrophysics)	zeusmp	facerec			
		ammp			
		lucas			
		fma3d			
		sixtrack			

© 2007 Elsevier, Inc. All rights reserved.

- ¿Cómo se calculan los resultados en SPEC?
 - o Supongamos que la "suite" SPECxx está formada por n programas patrón
 - o Sea:

$$r_i = \frac{\text{Tiempo ejecución patrón } i \text{ en máquina de referencia}}{\text{Tiempo ejecución patrón } i \text{ en máquina evaluada}}, \forall i = 1, n$$

Entonces, se define

$$SPECxx = \sqrt[n]{r_1 \times r_2 \times \dots \times r_n}$$

o sea, la media geométrica (MG) de los n ratios.

□ ¿Qué ventaja aporta el uso de la MG?

- Ejemplo simplificado: Supongamos una suite con dos programas patrón y comparemos dos máquinas A y B

Tiempos de ejecución en cada computador y ratios

Programas patrón	Comp. Ref	Comp. A	Ratio	Comp. B	Ratio
	P1	R1	A1	R1/A1	B1
P2	R2	A2	R2/A2	B2	R2/B2

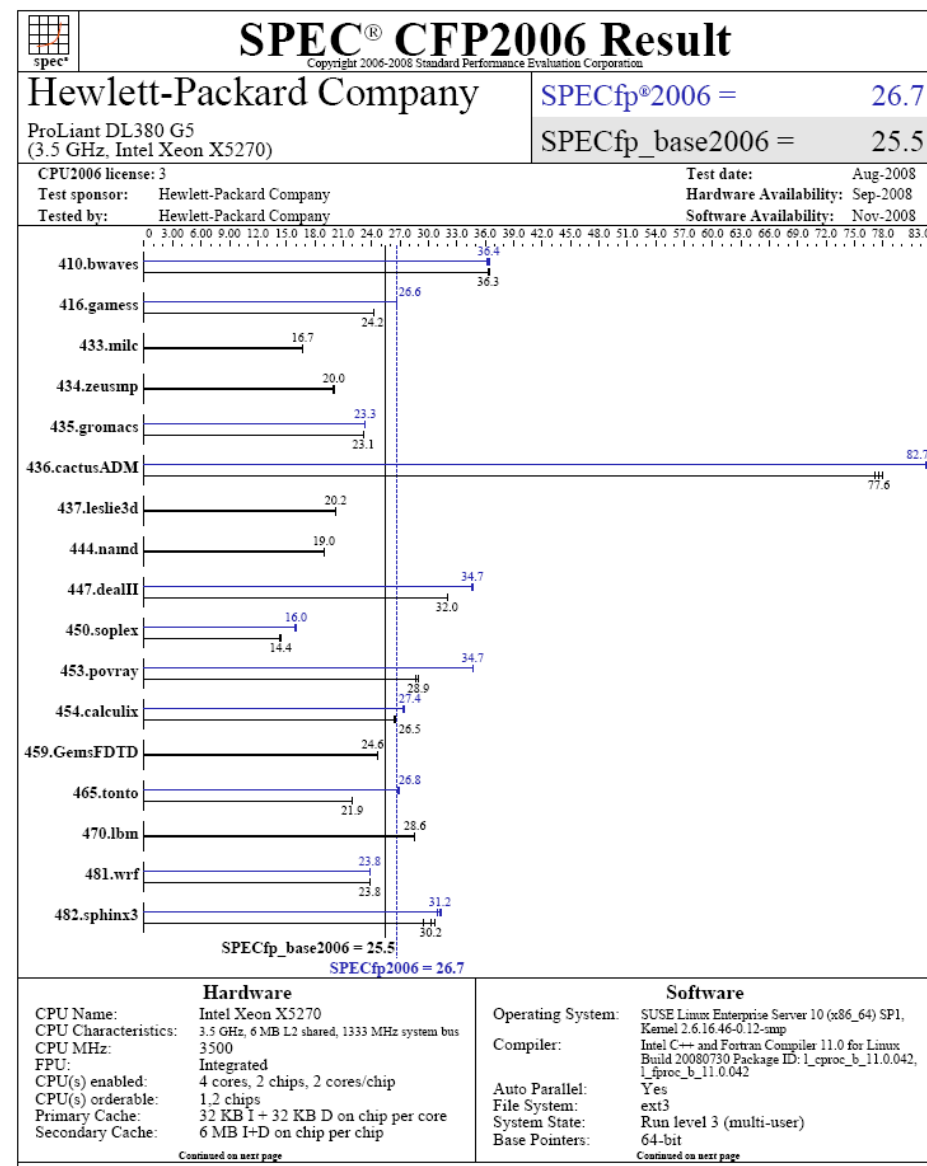
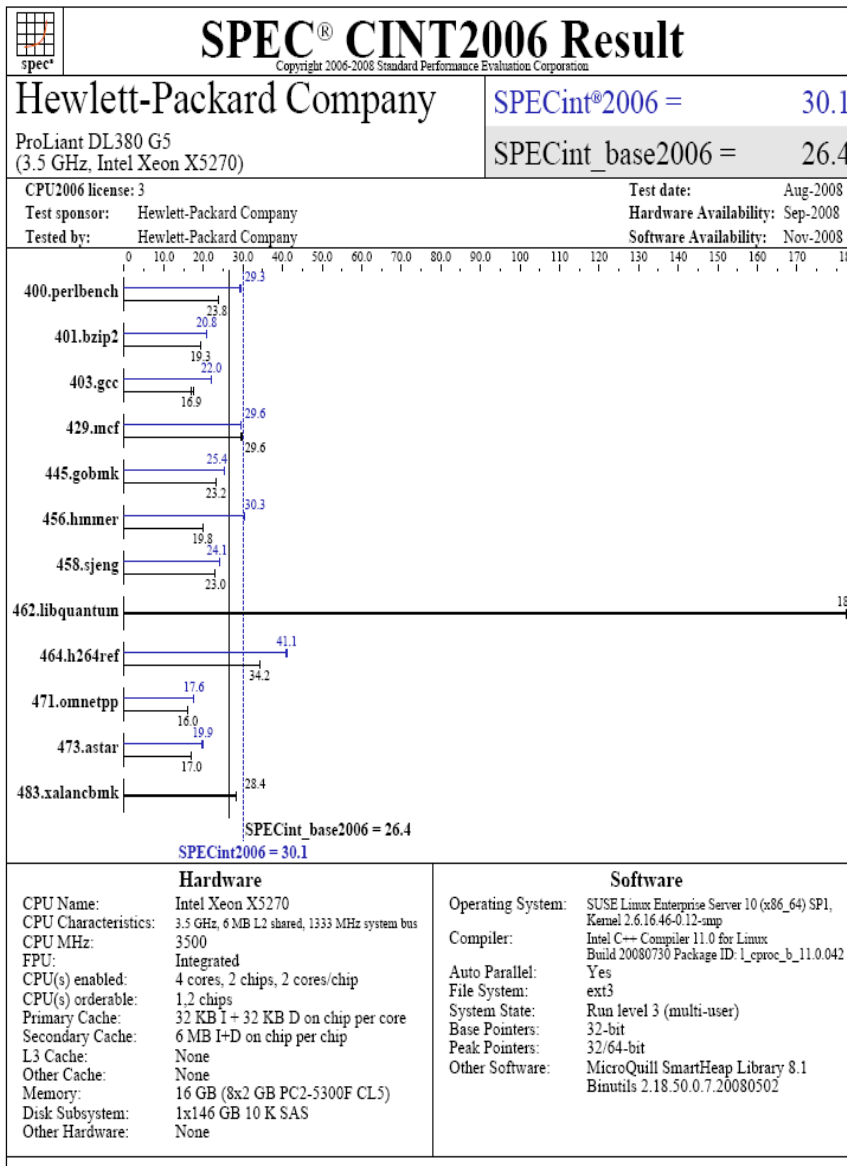
$$\text{Rendimiento A} = \sqrt[2]{\frac{R1}{A1} \times \frac{R2}{A2}}$$

$$\text{Rendimiento B} = \sqrt[2]{\frac{R1}{B1} \times \frac{R2}{B2}}$$

- Neutralidad de la máquina de referencia. La relación de rendimientos entre A y B es independiente de la máquina de referencia elegida. Efectivamente, operando:

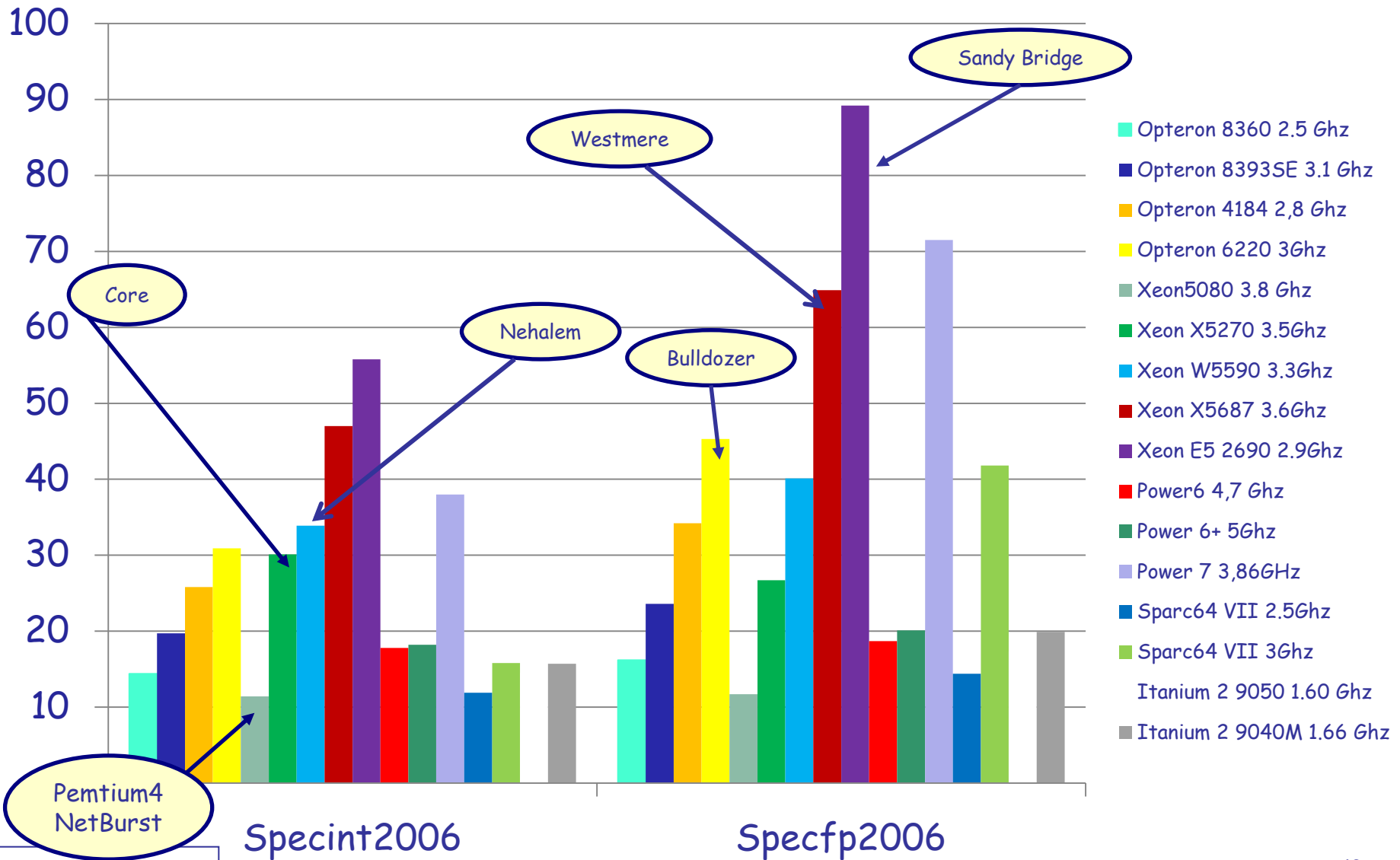
$$\frac{\text{Rendimiento A}}{\text{Rendimiento B}} = \sqrt[2]{\frac{B1 \times B2}{A1 \times A2}} = \frac{\text{MG tiempos ejec en B}}{\text{MG tiempos ejec en A}}$$

Rendimiento



Rendimiento

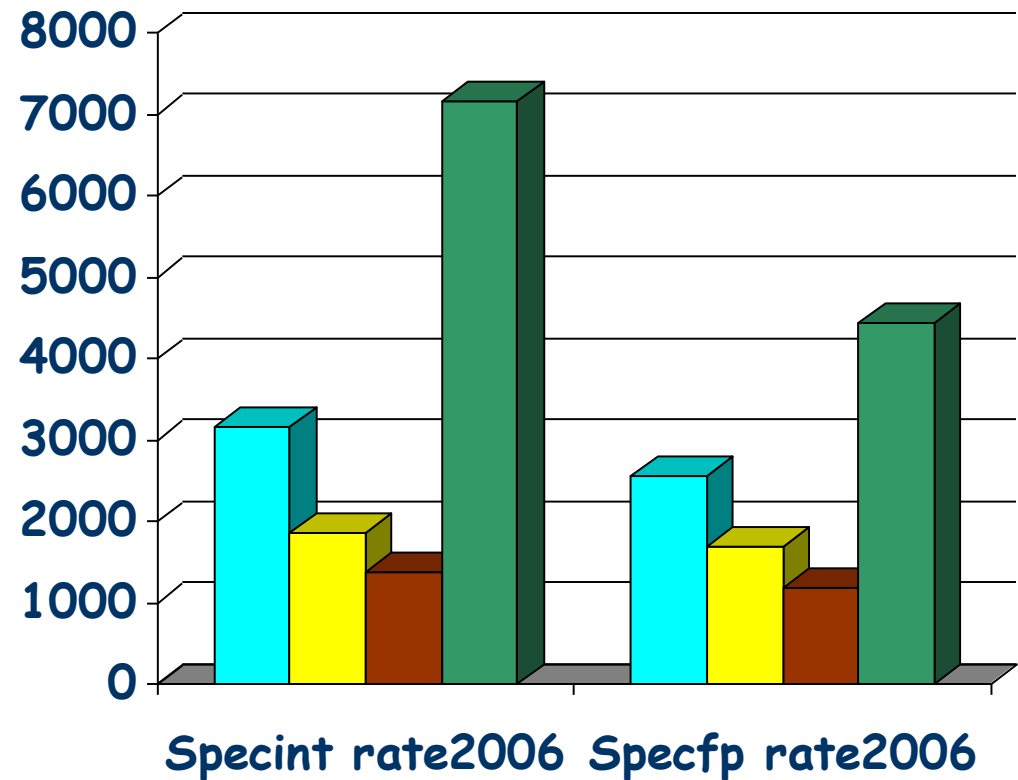
□ SPEC de los últimos procesadores (SPEC2006)



Rendimiento

□ SPEC rate (*) de sistemas de 32 chips (SPEC2006)

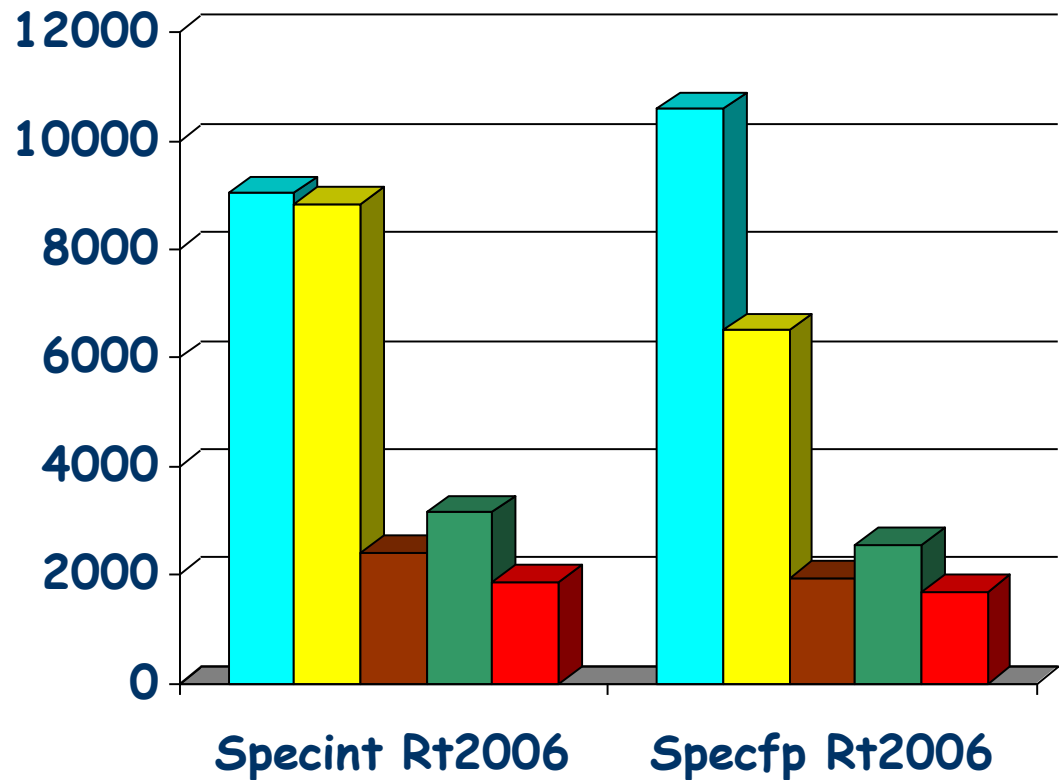
- Xeon X5570 2.93Ghz 128 cores
- Power6 5Ghz 64 cores
- Sparc64 VII 2.88Ghz 128 cores
- Xeon E7-8870 2,4GHz 320 cores



(*) Analiza el rendimiento de una máquina en la ejecución de múltiples tareas a la vez. En la máquina evaluada se ponen en ejecución simultánea tantas copias del benchmark como cores existan

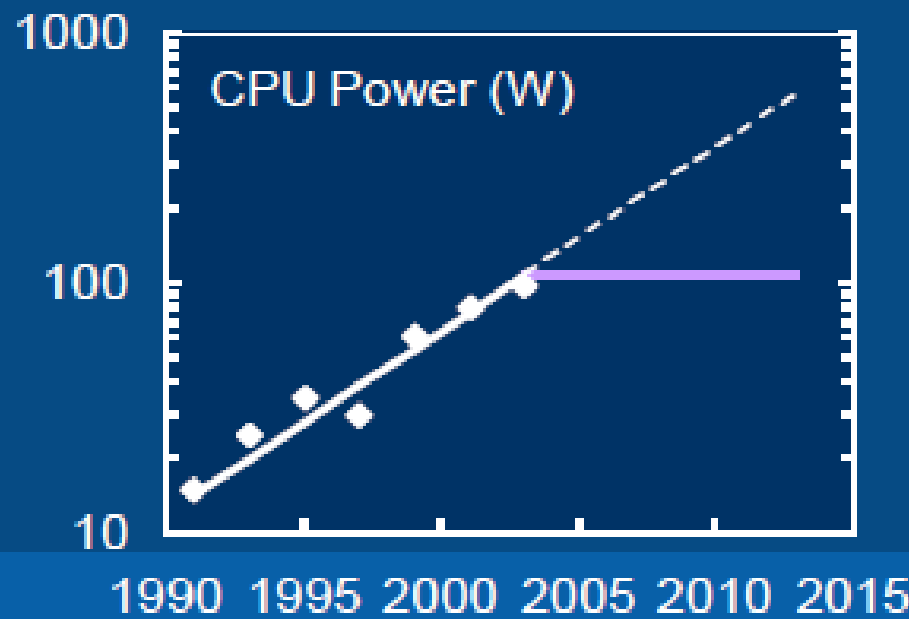
□ SPEC rate de los mayores sistemas (SPEC2006)

- Itanium 9040 1024 cores
512 chips
- Opteron 8384 2.7Ghz 768 cores 192 chips
- Sparc64 VII 2.88Ghz 256 cores 64 chips
- Xeon X5570 2.93Ghz 128 cores 32 chips
- Power6 5Ghz 64 cores 32 chips



Potencia y Energía

- La potencia debe permanecer constante en cada segmento
- Problema: El consumo se transforma en calor a disipar
- TDP (Thermal Design Power). Determina la potencia del sistema de refrigeración y de la fuente de alimentación. Está por debajo de la potencia "pico" (peak) y por encima de la "media" (average)



- Autonomía
- Tamaño compacto
- Costo y consumo del sistema de refrigeración

- ❑ Reto: "seguir incrementando en rendimiento sin incrementar el consumo"
- ❑ Tecnología; Transistores mas pequeños, rápidos y de menor consumo. Pero ... mayor cantidad
- ❑ Arquitectura;
 - o Potencia = Energía por instrucción x Instrucciones por segundo
 - o Reducir $EPI = E_{\text{dinámica}} + E_{\text{estática}}$

Power gating:
Suprimir alimentación

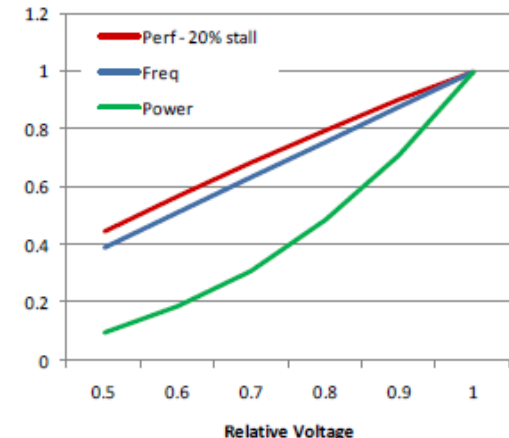
- Reducir EPI reduciendo $E_{\text{dinámica}}$

$$E_{\text{dinámica}} = \frac{1}{2} VDD^2 * C_{\text{dyn}}$$

Reducir VDD.

Impacto lineal sobre frecuencia y performance.

Cuadrático sobre el consumo de energía



Reducir C_{dyn} : Microarquitectura

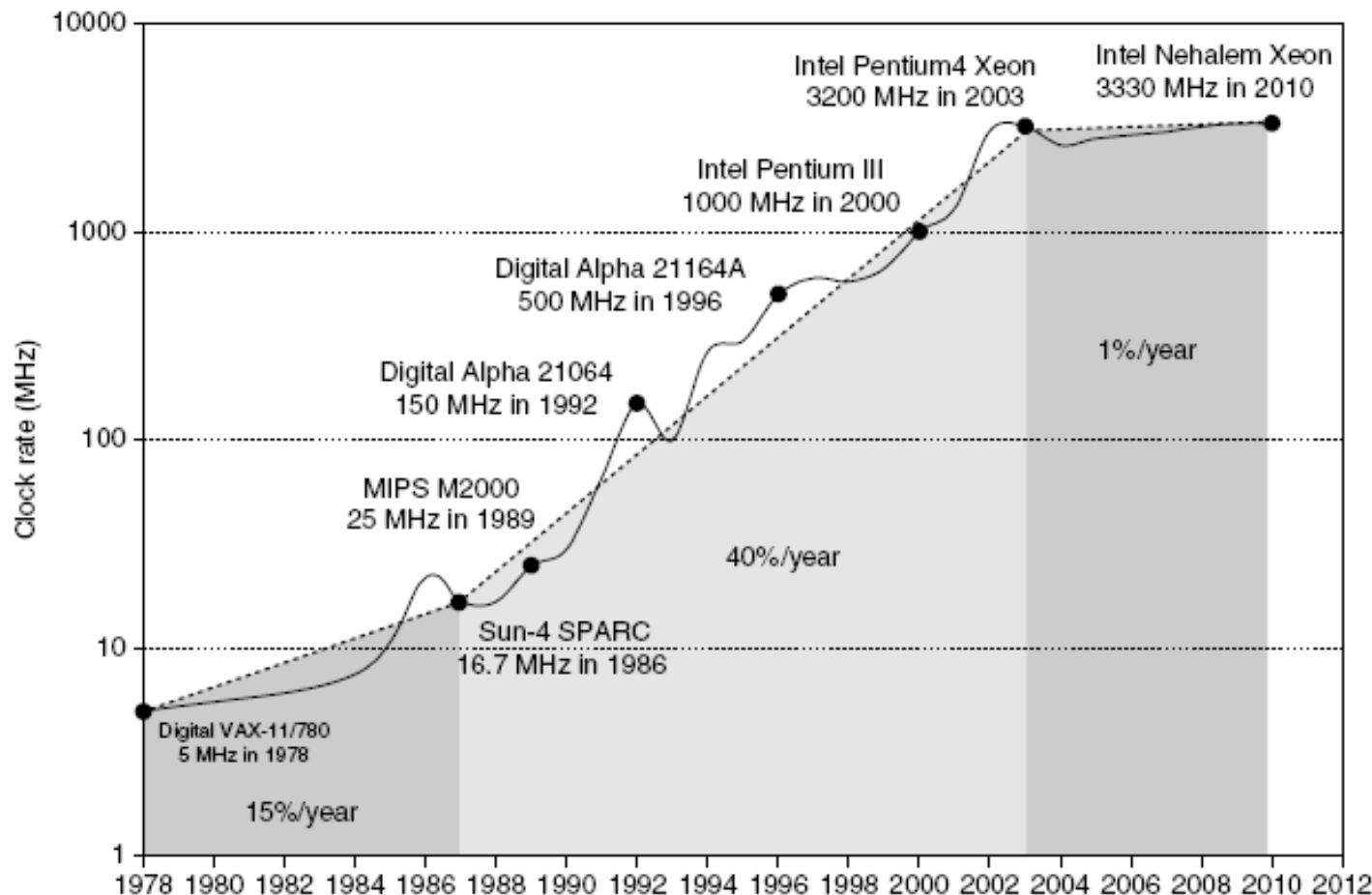
- Potencia dinámica = $\frac{1}{2} VDD^2 * C_{\text{dyn}} * \text{Frecuencia}$

Ojo! Reducir el "clock" reduce la potencia, pero no la energía (DVFS)

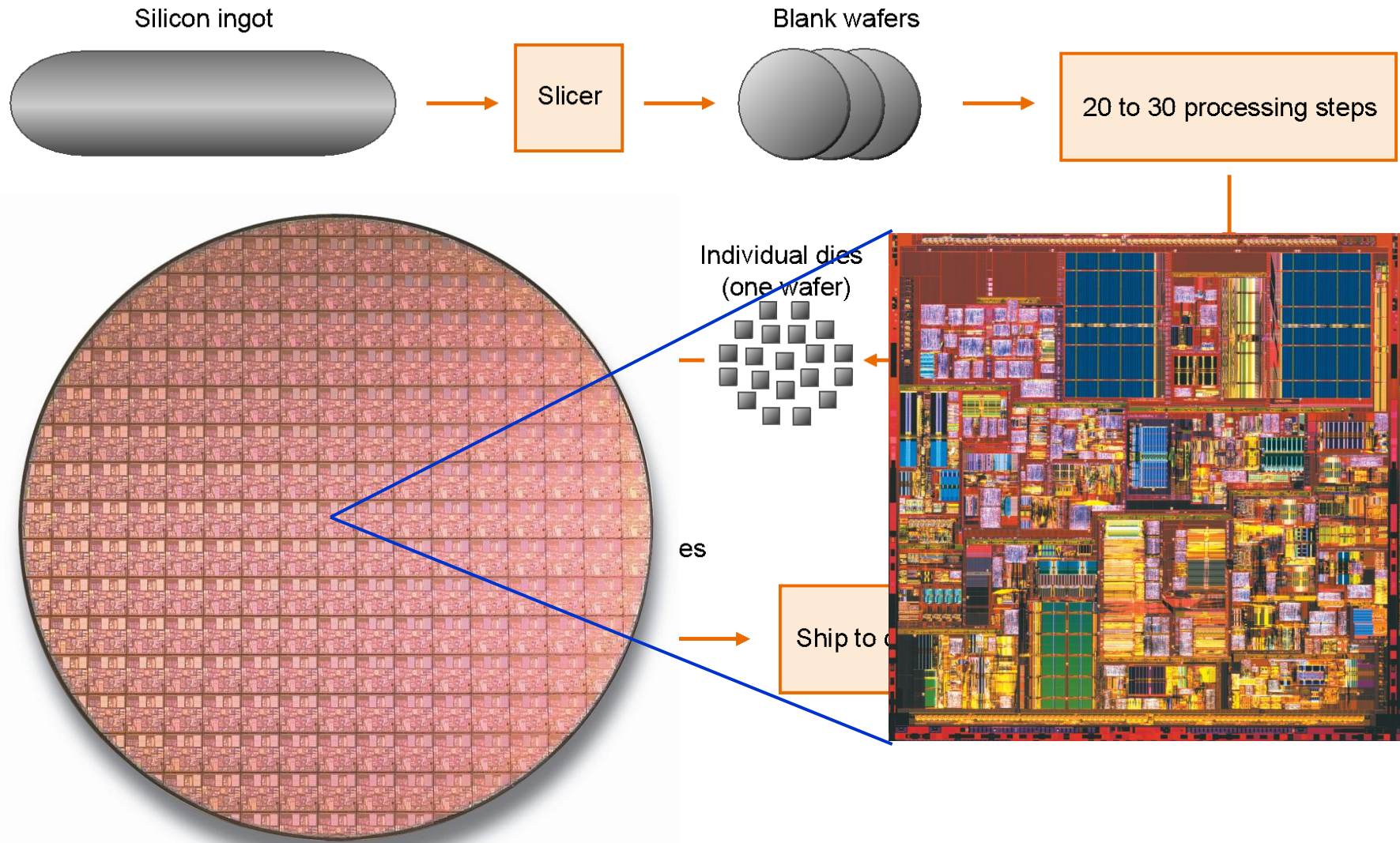
Reducir VDD: Impacto cúbico sobre la potencia dinámica

❑ Evolución del "clock"

Intel 80386 2W, Intel Core i7 3.3GHz, 130W.
Límite para refrigeración con aire forzado.



Fabricación de un CI



□ Coste : El fundamental, el coste del CI

$$\text{coste de CI} = \frac{\text{Die coste} + \text{Testing coste} + \text{Packaging coste}}{\text{Final test yield}}$$

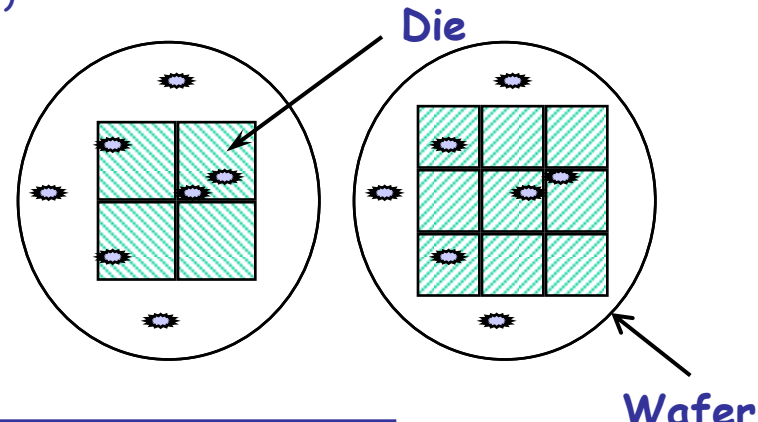
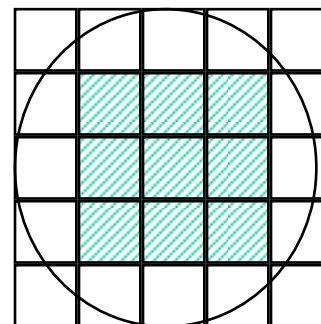
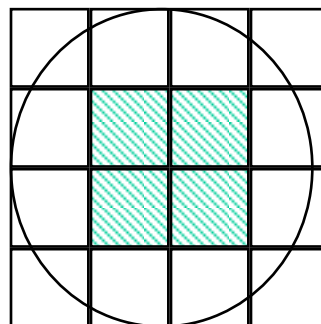
$$\text{Coste del Die} = \frac{\text{coste del Wafer}}{\text{Dies por Wafer} * \text{Die yield}}$$

Formula de Bose-Einstein

$$\text{Die yield} = \text{Wafer yield} \times 1 / (1 + \text{Defects per unit area} \times \text{Die area})^N$$

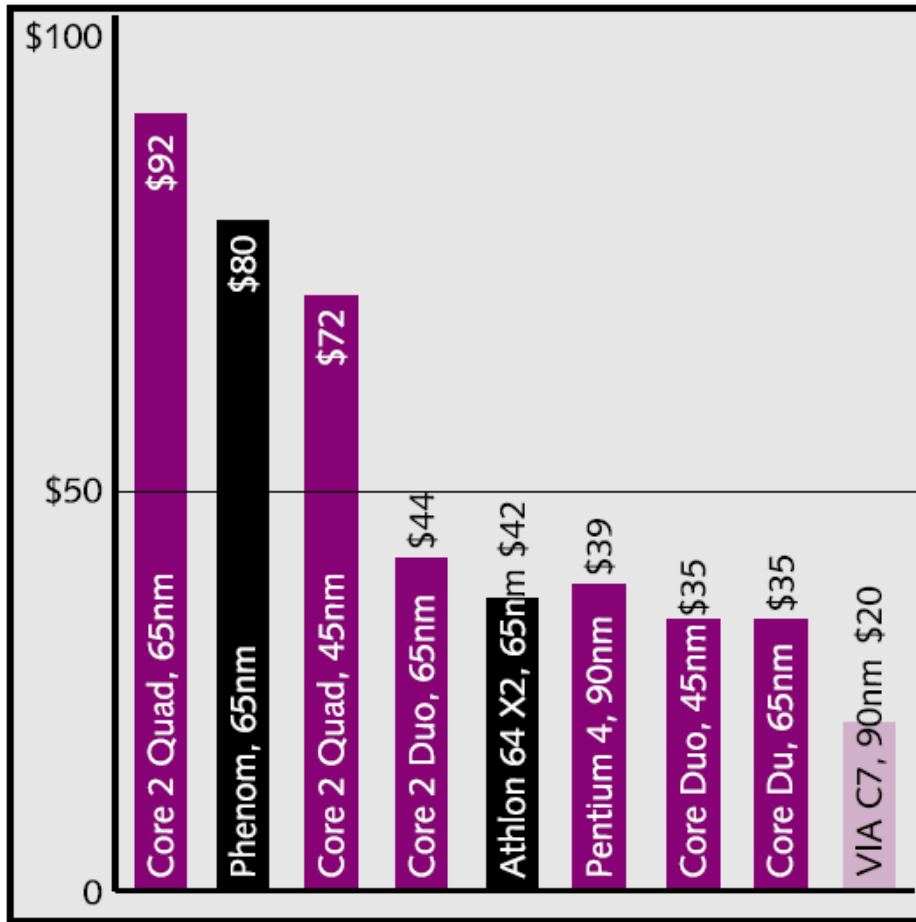
Defects per unit area = 0.016-0.057 defects per square cm (2010)

N = process-complexity factor = 11.5-15.5 (40 nm, 2010)



$$\text{El costo de CI (Die)} \approx f(\text{área del die})^2$$

□ Algunos ejemplos reales



El precio de los microprocesadores depende del volumen. 10% de reducción cuando se dobla el volumen de producción

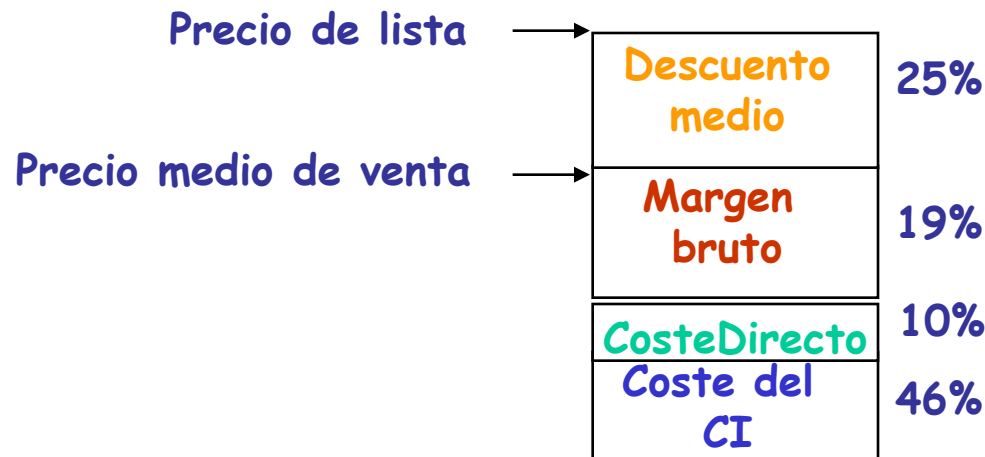
* Processor core change from previous process generation.

** Not mainstream processors, but provided for comparison purposes.

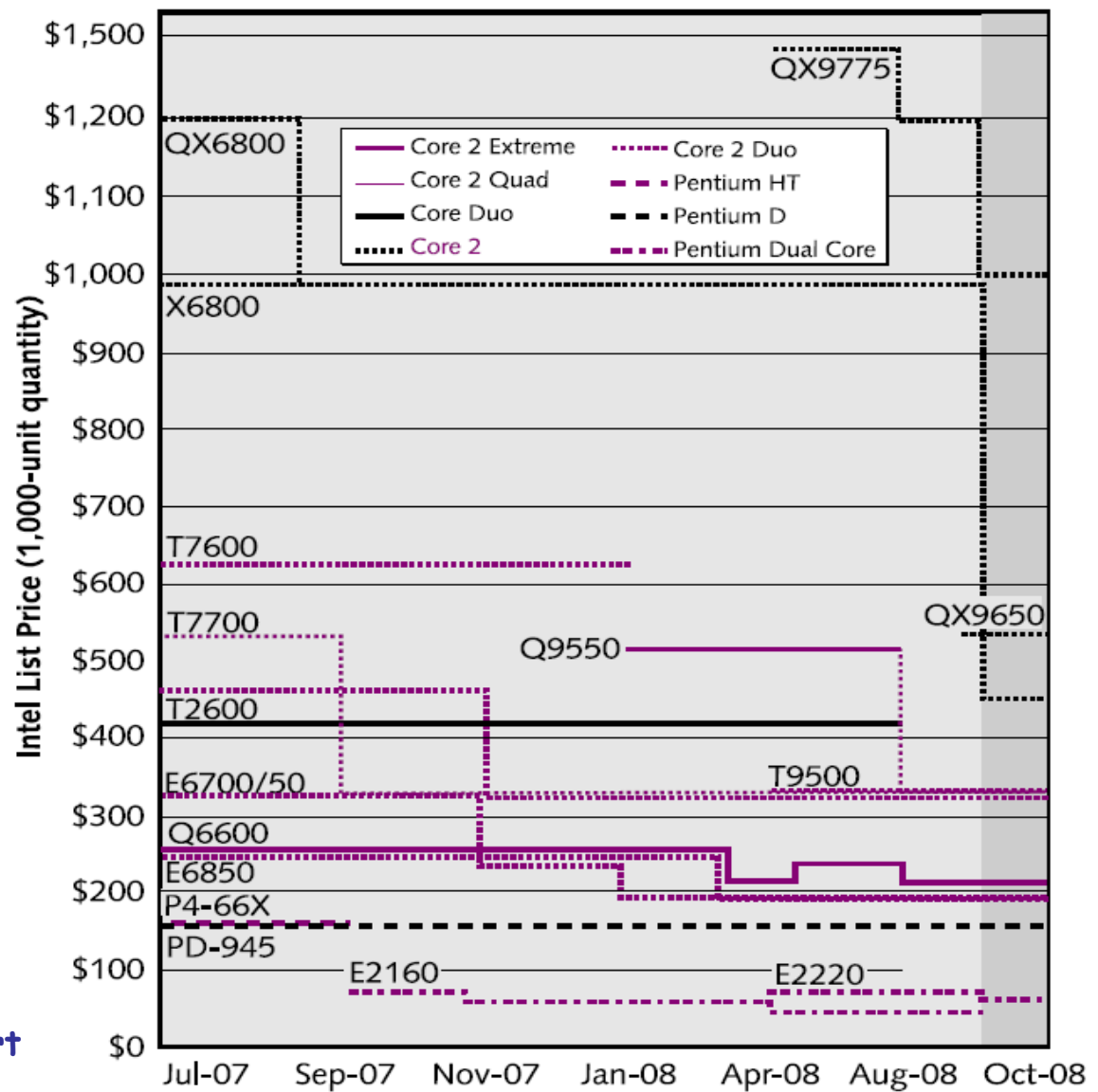
Fuente Microprocessor Report

□ Componentes del coste final (Precio)

- o Coste del CI
- o Costo Directo: costes recurrentes: mano de obra, compras,
- o Margen bruto: costes no recurrentes, I&D, marketing, ventas, equipamiento, costes financieros, beneficio, impuestos
- o Descuento



□ Evolución en la vida comercial

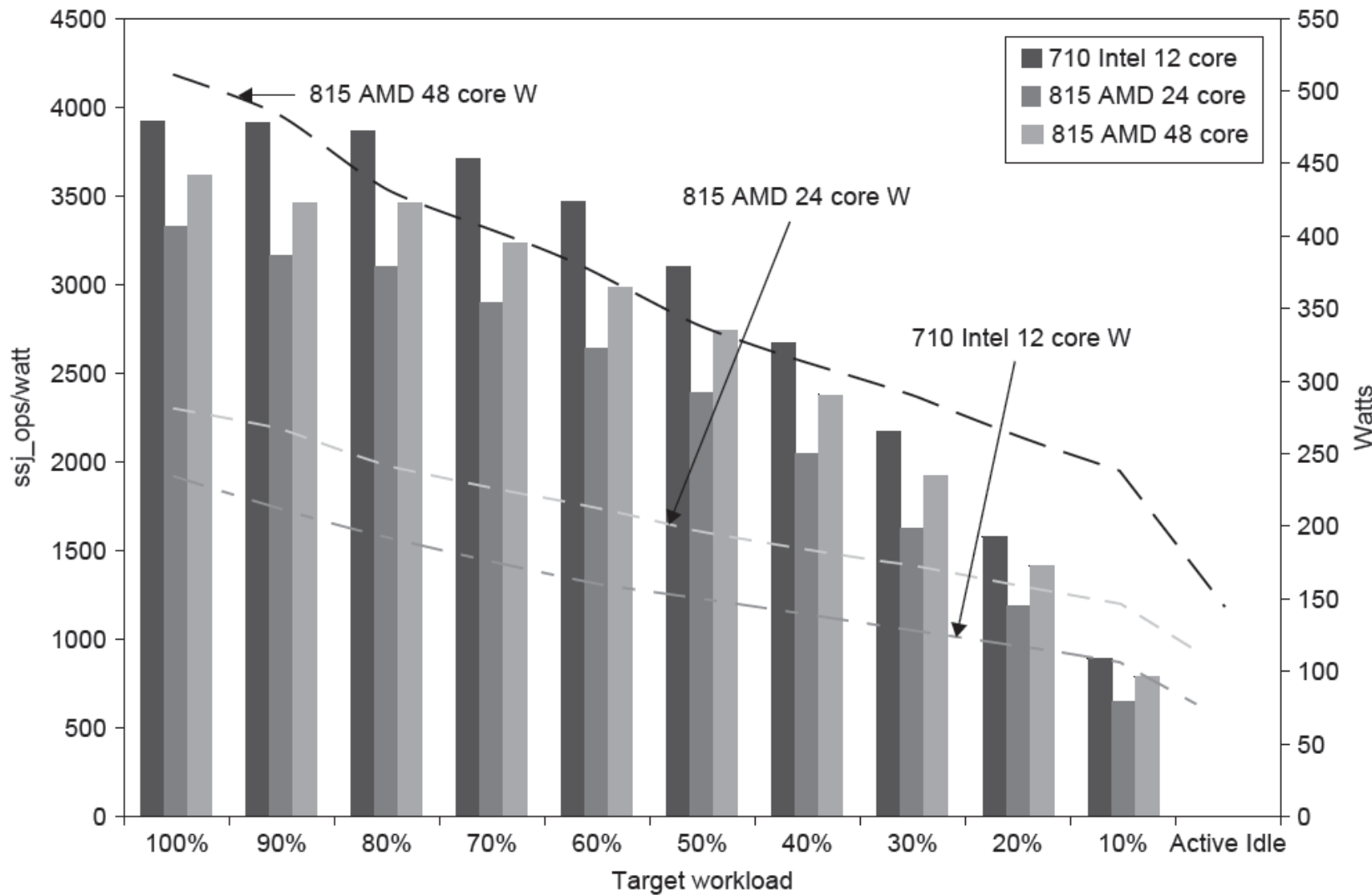


Fuente Microprocessor Report

□ Tres servidores DELL PowerEdge

	System 1	System 2	System 3			
Component	Cost (% Cost)	Cost (% Cost)	Cost (% Cost)			
Base server	PowerEdge R710	\$653 (7%)	PowerEdge R815	\$1437 (15%)	PowerEdge R815	\$1437 (11%)
Power supply	570 W		1100 W		1100 W	
Processor	Xeon X5670	\$3738 (40%)	Opteron 6174	\$2679 (29%)	Opteron 6174	\$5358 (42%)
Clock rate	2.93 GHz		2.20 GHz		2.20 GHz	
Total cores	12	24		48		
Sockets	2	2		4		
Cores/socket	6	12		12		
DRAM	12 GB	\$484 (5%)	16 GB	\$693 (7%)	32 GB	\$1386 (11%)
Ethernet Inter.	Dual 1-Gbit	\$199 (2%)	Dual 1-Gbit	\$199 (2%)	Dual 1-Gbit	\$199 (2%)
Disk	50 GB SSD	\$1279 (14%)	50 GB SSD	\$1279 (14%)	50 GB SSD	\$1279 (10%)
Windows OS		\$2999 (32%)		\$2999 (33%)		\$2999 (24%)
Total		\$9352 (100%)		\$9286 (100%)		\$12,658 (100%)
Max ssj_ops	910,978	926,676		1,840,450		
Max ssj_ops/\$	97	100		145		

Coste-Rendimiento

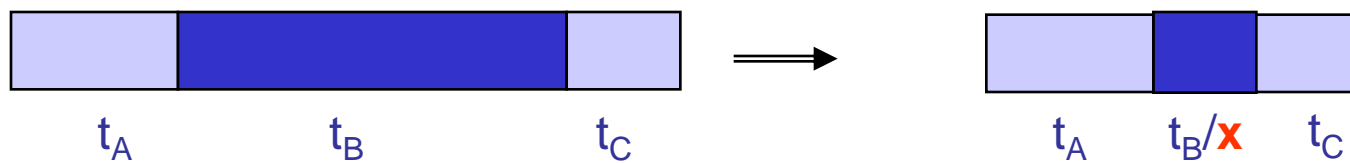


Un principio simple

- Un principio básico: Hacer rápidas las funciones frecuentes.
Gastar recursos donde se gasta el tiempo.
- Ley de Amdahl: Permite caracterizar este principio

Permite la evaluación del speedup que se obtendrá al aplicar una cierta mejora, M, que permite ejecutar una parte del código **x** veces más rápido.

Def: $\text{Speedup}(E) = \frac{\text{TEj sin } M}{\text{TEj con } M} = \frac{\text{Performance con } M}{\text{Performance sin } M}$



Si la mejora sólo acelera la ejecución de un fracción F de la tarea, el tiempo de ejecución del resto permanece sin modificación. Por tanto es muy importante el porcentaje de la tarea que es acelerada.

$$F = \frac{t_B}{t_A + t_B + t_C}$$

Un principio simple

□ La Ley Amdahl

$$TEj_{\text{nuevo}} = TEj_{\text{antiguo}} \times \left[\frac{(1 - \text{Fraccion}_{\text{mejora}}) + \frac{\text{Fraccion}_{\text{mejora}}}{x}}{1} \right]$$

$$\text{Speedup} = \frac{TEj_{\text{antiguo}}}{TEj_{\text{nuevo}}} = \frac{1}{(1 - \text{Fraccion}_{\text{mejora}}) + \frac{\text{Fraccion}_{\text{mejora}}}{x}}$$

Ejemplo 1: El 10% del tiempo de ejecución de mi programa es consumido por operaciones en PF. Se mejora la implementación de la operaciones PF reduciendo su tiempo a la mitad

$$TEj_{\text{nuevo}} = TEj_{\text{antiguo}} \times (0.9 + 0.1 / 2) = 0.95 \times TEj_{\text{antiguo}}$$

$$\text{Speedup} = \frac{1}{0.95} = 1.053$$

Mejora de sólo un 5.3%

Ejemplo 2: Para mejorar la velocidad de una aplicación, se ejecuta el 90% del trabajo sobre 100 procesadores en paralelo. El 10% restante no admite la ejecución en paralelo.

$$TEj_{\text{nuevo}} = TEj_{\text{antiguo}} \times (0.1 + 0.9 / 100) = 0.109 \times TEj_{\text{antiguo}}$$

$$\text{Speedup} = \frac{1}{0.109} = 9.17$$

El uso de 100 procesadores sólo multiplica la velocidad por 9.17

□ Concepto de eficiencia (E)

$$E = \frac{Speedup}{x} = \frac{1}{\frac{(1-F) + \frac{F}{x}}{x}} = \frac{1}{\frac{1}{x(1-F) + F}} = \frac{1}{x + F(1-x)}$$

El valor máximo posible de E es 1 (para lo que se necesitaría que F=1)

□ Ampliación del Ejemplo 2:

Procesadores (x)	F	Speedup	Eficiencia
10	0.9	5.26	0,526 (52.6%)
100	0.9	9.17	0,0917 (9.17%)
1000	0.9	9.91	0.00991 (0.99%)

Observaciones:

1. La fracción no paralelizable de un cálculo, $(1-F)$, limita seriamente el Speedup, incluso cuando esta fracción es pequeña.
2. A partir de cierto punto, aumentar mucho el nº de procesadores apenas mejora el Speedup, por lo que se degradada mucho la Eficiencia.